

Р. С. ЛУЧКИН

РАСЧЕТ И ПРОЕКТИРОВАНИЕ СВАРНЫХ КОНСТРУКЦИЙ

КУЙБЫШЕВ 1987
КУЙБЫШЕВСКИЙ АВИАЦИОННЫЙ ИНСТИТУТ

МИНИСТЕРСТВО ВЫСШЕГО И СРЕДНЕГО СПЕЦИАЛЬНОГО ОБРАЗОВАНИЯ

Р С Ф С Р

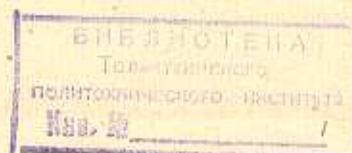
ТОЛЬЯТИЙСКИЙ ПОЛИТЕХНИЧЕСКИЙ ИНСТИТУТ

Кафедра "Оборудование и технологии пайки"

Р.С. Лучкин, к.т.н., доц.

РАСЧЕТ И ПРОЕКТИРОВАНИЕ СВАРНЫХ
КОНСТРУКЦИЙ

Учебное пособие



Куйбышев 1987
Куйбышевский авиационный институт

УДК 624.014.25.001.2(076)

Лучкин Р.С. Расчет и проектирование сварных конструкций:
Учебное пособие.-Куйбышев:КуАИ,1987.- 79 с.

Ил.28. . Табл.22. Библиограф.: 9 назв.

Изложены требования к содержанию курсового проекта и порядку выполнения отдельных частей. Освещены вопросы конструктивного оформления сварных соединений, узлов и изделий. Рассмотрены схемы расчета сварных составных балок, колонн, разрезуаров и магистральных трубопроводов. Даны примеры выполнения расчетов сварных конструкций.

Предназначены для студентов спец.0604 "Сборудование и технология сварочного производства".

Рецензенты:
отдел главного сварщика ПО "Волгоградмаш" (гла.сварщик к.т.н.
Фильченков Д.И.);
к.т.н. доц. Шишков А.В., гла.конструктор САПР .

Научный редактор к.т.н. доц. Горпинич В.Ф.

Утверждены редакционно-издательской секцией методического
совета института.

© Тольяттинский политехнический
институт

I. ТРЕБОВАНИЯ К ВЫПОЛНЕНИЮ КУРСОВОГО ПРОЕКТА

I.1. Объем курсового проекта

Курсовой проект состоит из графической части и расчетно-пояснительной записки.

Объем графической части проекта должен составлять 3 листа чертежей формата А1.

Расчетно-пояснительная записка состоит в зависимости от проекта из 30...40 с.рукописного текста на листах бумаге формата II.

I.2. Требования к графической части

1.2.1. Каждый лист графической части предназначен для изображения общего вида разрабатываемой конструкции (балки, стойки и листовой конструкции) в соответствующем масштабе с необходимым количеством проекций, видов, разрезов, сечений.

1.2.2. Проект выполняется в полном соответствии с требованиями БСКД. На каждом листе вычерчивается штамп основной надписи, а для общего вида конструкции на отдельном листе приводится спецификация.

К выполнению графической части проекта можно приступить только после консультации с руководителем проекта и утверждения им выполненных расчетов и эскизов.

I.3. Требования к расчетно-пояснительной записке

1.3.1. В расчетно-пояснительной записке приводятся:

краткое описание и назначение конструкции;

технические условия на изготовление;

обоснование выбора материала для конструкции (если он заранее не задан);

расчетная схема конструкции и отдельных ее элементов, допускаемые напряжения или расчетные сопротивления для основного металла сварных швов;

прочностные расчеты конструкции, включая расчет сварных соединений.

1.3.2. Пояснительная записка должна включать

титульный лист,

задание по курсовому проектированию,

содержание,

аннотацию,

введение,

основную расчетную часть,

заключение,
список литературы,
спецификацию к листам графической части.

1.3.3. Текст записки пишется чернилами (шариковой ручкой) или тушью, грамотным литературным языком, в определенной последовательности, ясно, четко, разборчиво, без помарок, на листах белой бумаги требуемого формата.

1.3.4. Все расчеты обязательно иллюстрируются необходимыми эскизами, графиками или расчетными схемами и эпюрами, выполненнымными на отдельных листах или в такте мягким черным карандашом или тушью с применением чертежных инструментов и принадлежностей. Графики выполняются обязательно с масштабной сеткой. Линии сетки должны иметь толщину 0,1 мм, оси графика - 0,4 мм, сам график - 0,8 мм. Стрелки по осям графика не ставятся. Иллюстрации в записке именуются рисунками, нумеруются последовательно в пределах всей записи арабскими цифрами и сопровождаются содержательной подписью, которая пишется в одну строку с номером, (например: Рис.8.) Поперечное сечение балки; обозначения и надписи на рисунках выполняются чертежным шрифтом. Если на рисунке указаны поддписи позиций цифрами или буквами, то в подрисуночной подпись они должны быть расшифрованы (например: Рис.5. Общий вид балки: 1 - верхний пояс; 2 - нижний пояс; 3 - стяжка; 4 - вертикальное ребро жесткости).

1.3.5. В экспликациях формул значения символов и числовых коэффициентов должны приводиться под формулой в той последовательности, в какой они даны в формуле. Первую строку экспликации начинают со слова "где", двоеточие после него не ставят. Формулы, на которые в тексте имеются ссылки, должны нумероваться арабскими цифрами последовательно в пределах всей записи. Номер формулы следует заключать в круглые скобки и помешать на правом поле страницы на уровне нижней строки формулы.

1.3.6. Изложение материала в пояснительной записке должно сопровождаться по мере необходимости ссылками в квадратных скобках на соответствующий литературный источник, приведенный в списке литературы. Ссылки на студенческий конспект лекций не допускаются.

1.3.7. Страницы пояснительной записки нумеруются. На первой странице (титульном листе) номер не ставят. Отдельные страницы, на которых расположены рисунки и таблицы, а также приложения и список литературы включаются в общую сквозную нумерацию страниц.

1.4. Порядок выполнения проекта

Курсовой проект выполняется в соответствии с графиком на текущий семестр согласно действующему учебному плану. Индивидуальные контрольно-консультативные занятия, указанные в графике, обязательны для студента.

Независимо от наличия или отсутствия вопросов по проекту студент обязан в часы консультаций являться к руководителю проекта и предъявлять выполненную по проекту работу за истекший период.

2. КОНСТРУКТИВНОЕ ОФОРМЛЕНИЕ СВАРНЫХ КОНСТРУКЦИЙ, УЗЛОВ И СОЕДИНЕНИЙ

2.1. Сварные соединения

2.1.1. Проектируя сварные узлы и соединения, необходимо предусматривать возможность использования механизированных способов сварки. Применение ручной сварки должно допускаться в основном при монтаже.

2.1.2. Расчетная длина шва в сварных соединениях при наличии выводных технологических планок принимается равной ширине стыкуемых деталей.

2.1.3. Если шов не выводится на временные планки, то его расчетная длина уменьшается на 10 мм для учета кратера и непровара у краев листа.

2.1.4. Если усилие не передается по всей длине флангового углового шва, то длина шва выбирается из условия $\ell_w \leq 50 \leq h_w$ (h_w — толщина углового шва, принимаемая равной катету вписанного равнобедренного треугольника), иначе шов полностью не включится в работу.

2.1.5. Не допускается пересечение сварных швов в конструкциях, работающих на динамическую нагрузку. Стенки с накладками могут использоваться при статических нагрузках. В этом случае швы у накладок не доводятся до оси ставка на 25 мм. При динамических нагрузках соединение листовых деталей допускается только встык. Начало и конец шва выводятся на технологические плашки.

2.1.6. Расстояние между параллельными швами должно быть не менее 10 толщин основного металла.

2.1.7. При соединении внахлестку, состоящем из двух лобовых швов, расстояние между швами, с целью уменьшения сварочных напряжений должно быть не менее 5δ (рис. 2.1, г).

2.1.8. Катеты сварных швов назначаются размером 4, 5, 6, 8, 10, 12, 14, 16 мм.

Таблица 2.1

Допускаемые максимальные толщины швов

Толщина более толстого из свариваемых элементов, мм	до 10	11-20	21-30	31-50	50
Катет шва для углеродистых сталей	4	6	8	10	12
Катет шва для низколегированных сталей	6	8	10	12	-

2.1.9. При статических нагрузках допускается любая форма сварного шва. При динамических нагрузках поверхность шва должна быть вогнутой, с соотношением катетов для лобовых швов 1:1,5; для фланговых - 1:1.

2.1.10. Применение нахлесточных соединений с одним швом не рекомендуется.

2.1.11. Если усилие передается на всем протяжении шва, то его длина не ограничивается.

2.1.12. Длина каждого флангового шва, передающего продольную осевую силу, ограничивается величиной $6 h_w$; наименьшая расчетная длина флангового или лобового шва принимается равной 40 мм или $4 h_w$ вследствие резкой концентрации напряжений в коротких швах (рис. 2.1 б).

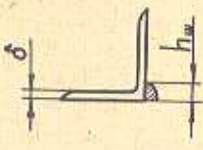
2.1.13. Наибольшая толщина угловых швов не должна превышать 1,2 меньшей из толщин соединяемых элементов. При сварке прокатных профилей, имеющих закругления кромки, катеты сварных швов назначаются по наименьшей толщине угловых швов (табл. 2.2).

Таблица 2.2

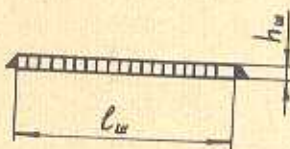
Наименьшая толщина угловых швов вдоль кромок, имеющих закругления

Расположение шва	Толщина шва, мм					
	4	6	8	10	12	
У пера уголков при толщине полки, мм	6	8	10	12	14	
У полок двутавров до №14	№16...27	№30...40	№45	№50...60		
У полок швеллеров до №12	№14...27	№30	№36...40			

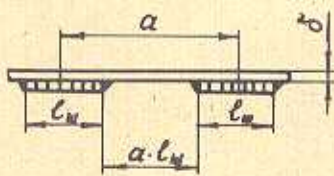
2.1.14. Во избежание прожогов при сварке фасонных профилей (уголков, швеллеров) наибольшая толщина углового шва принимается не больше $1,2 \delta$ (рис. 2.1, а), где δ – толщина прилегающей к соединению



a) $\max h_w = 1,2\delta$
 $\min h_w = 4 \text{ MM}$



b) $\ell_w = \begin{cases} \max 60 h_w; \min h_w = 4 \text{ MM} \\ \min 4 h_w \text{ или } 40 \text{ MM} \end{cases}$



c)
 $a \cdot \ell_w = \begin{cases} \max 15\delta & (\text{сжатие}) \\ \min 30\delta & (\text{растяжение}) \end{cases}$

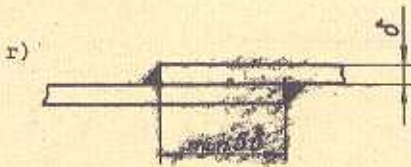


Рис. 2.1. Пределные размеры сварных соединений

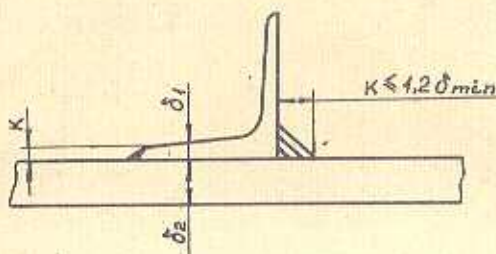


Рис.2.2. Максимальные толщины швов вдоль загруженных форм профильных профилей

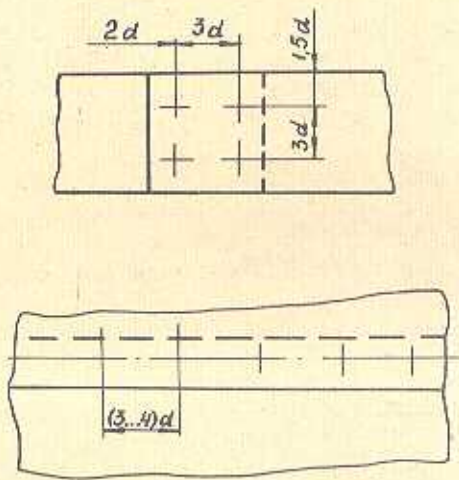


Рис.2.3. Рекомендуемые расстояния между сварными точками

части профиля (например, полки уголка или стенки швеллера).

2.1.15. Толщина угловых швов должны быть по возможности унифицированы. Наиболее рационально иметь в конструкции угловые швы не более двух размеров толщины (чаще 6...8 мм).

2.1.16. При наложении швов вдоль закругленных кромок прокатных профилей максимальная толщина шва устанавливается исходя из того, что гипотенуза треугольника, вписанного в сечение шва, является касательной к дуге закругления (рис.2.2).

2.1.17. При ручной сварке за один проход может быть выполнен шов с катетом $K \leq 8$ мм. Более толстые швы получают многопроходной сваркой. Угловые швы с катетами $K > 20$ мм применять не следует, так как они имеют большие внутренние напряжения.

2.1.18. Применение прерывистых швов допускается только при статических нагрузках для неответственных конструкций (площадки, настилы, ребра в настилах, обшивки). Расстояние между швами в скатых элементах должно быть не более 15 толщин наиболее тонкого элемента, а в растянутых – не более 30.

2.1.19. Из условия равнопрочности сварной точки и основного металла минимальные расстояния (рис.2.3) до края элемента $\alpha_1 = 2d$ (в продольном направлении) и $\alpha_2 = 1,5d$ (в поперечном); между точками $d = (3...4)d$.

2.1.20. Диаметр сварной точки

$$d = 1,5 \delta + 5 \text{ мм},$$

где δ – толщина более тонкой из свариваемых деталей.

2.2. Требования к проектированию и конструированию составных сварных балок

2.2.1. Высота балки назначается по наибольшей из величин h_{opt} или с кратностью 100 мм. Высота станки предварительно принимается за 40...60 мм меньше высоты балки.

2.2.2. При проектировании балок из низколегированной стали и алюминиевых сплавов расчетная минимальная высота может получиться больше h_{opt} , тогда оптимальным будет сечение такой балки, у которой 75% материала сконцентрировано в станке и только 25% – в пятах.

2.2.3. Высоту стенки составных балок рекомендуется принимать кратной 50 мм. Толщина стенки сварных балок обычно принимается четная, но не менее 8 мм, реже – 6 мм.

2.2.4. Толщина станки балки может ориентировочно назначаться в зависимости от высоты балки h (табл.2.3).

2.2.5. Толщина станки должна быть согласована с ГОСТами на тол-

столистовую и универсальную прокатную сталь. Обычно принимают $\delta_{cr} \geq 8$ мм (редко 6 мм) градацией 2 мм. При заказе большой партии металлопроката, если $\delta_{cr} < 12$ мм, толщина стенки может иметь нечетное значение.

2.2.6. Ширина пояса принимается по соотношению $\frac{b_p}{\delta_p} = \frac{1}{5} \dots \frac{1}{3}$, но не менее 180 мм, а отношение между шириной и толщиной пояса $\frac{b_p}{2\delta_p} \leq 15 \sqrt{\frac{2100}{R}}$.

2.2.7. Ширина пояса двутавровой балки составляет 1/2,5...1/5 ее высоты, но не менее 170...180 мм и принимается кратной 10 мм. Толщина поясных листов принимается кратной 2 мм, за исключением листов толщиной 25 мм.

Таблица 2.3

Выбор толщины стенки

h , м	1,0	1,5	2,0	3,0	4,0	5,0
δ_{cm} , мм	8-10	10-12	12-14	16-18	20-22	22-24
h/δ_{cm}	100-125	125-150	145-165	165-185	185-200	210-230

Примечание. Меньшие значения отношения h/δ_{cm} в каждом диапазоне характерны для сталей повышенной, большие - для сталей обычной прочности.

2.2.8. Толщину поясного листа обычно назначают в пределах 2...40 мм (но не меньше толщины стенки) с градацией по ГОСТ 82-70.

2.2.9. Если разница в толщинах составляет более 4 мм или 1/8 толщины более тонкого листа, то в толстом листе выполняют скос с уклоном 1:5.

2.2.10. В сварных балках площадь сечения поясного листа в концевой части обычно назначают равной около $1/2$ площади сечения, принятой для среднего участка.

2.2.11. Для разрезных балок, работавших в упругой стадии при пролете более 12 м на расстоянии $(1/6) \ell$ от споры, сечение поясов может быть уменьшено с целью экономии металла. В этом случае должны быть выдержаны следующие соотношения:

где $b'_p > \frac{1}{2} b_p$; $b'_p \geq \frac{1}{10} h$; $b_p \geq 180$ мм,
где b'_p - ширина уменьшенного сечения пояса; b_p - первоначальная ширина пояса; h - высота балки.

2.2.12. Поясные швы, а также швы, крепящие ребра жесткости, выполняются непрерывными автоматической и полуавтоматической сваркой. Верхние поясные швы рекомендуется выполнять с проваром на всю толщину стенки (катет шва $h_w \geq 0,8 \delta_{cr}$). Для нижних поясных швов $h_w \geq 0,6 \delta_{cm}$ (δ_{cm} - толщина стенки балки).

2.2.13. Стаки высоких балок делают достаточно тонкими и укрепляют для повышения местной устойчивости поперечными ребрами жесткости, а в необходимых случаях дополнительно и продольным ребром (рис.2.4). Предельные соотношения высоты стакки к ее толщине, при которых не требуется укрепления стакки ребрами, указаны в табл.2.4.

2.2.14. При небольших поперечных силах поперечные ребра жесткости ставят обычно по всей длине балки на одинаковых расстояниях. В балках большого пролета при больших поперечных силах принимают два типа ребер: меньший — у опор (рис.2.5), больший — в средней части балки.

2.2.15. Поперечные ребра жесткости ставятся на расстояния (2,5...3) $h_{ст}$ друг от друга, но не менее двух на каждом отправочном элементе.

Таблица 2.4

Предельные соотношения высоты стакки и ее толщины

Марка стали или алюминиевого сплава		Наибольшее отношение $h_{ст}/\delta_{ст}$, при котором не требуется ставить ребра жесткости	
		поперечные	продольные
Стальные балки	Сталь Ст.3	70	160
	Сталь Ст.5	65	140
	14Г2, 15ГС, 15ХСНД	60	130
Балки из алюминиевых сплавов	АМг	60	150
	АМгБ	60	115
	АВТ1	70	105
	Д16Т	45	-

2.2.16. Предельные расстояния между поперечными ребрами жесткости не должны превышать двух высот балки при $\frac{h_{ст}}{\delta_{ст}} > 100$ и двух с половиной высот при $\frac{h_{ст}}{\delta_{ст}} \leq 100$.

2.2.17. Ширина ребра жесткости должна быть не менее $b_p > \frac{h_{ст}}{30} + 40$ мм, а толщина — не менее $(1/15)b_p$.

2.2.18. Ребра жесткости, параллельныестыковым швам стакки, должны быть удалены от стыков на расстояние не менее $10\delta_{ст}$. Горцы вертикальных ребер не доводятся до нижнего пояса на 60...100 мм. Страговые горцы ребер разрешается доводить до нижнего пояса без приварки и последним.

2.2.19. Длина коротких ребер должна быть не менее $C_3 h$ и $C_4 A_1$ (A_1 — расстояние между всеми короткими ребрами или короткого и основного ребер).

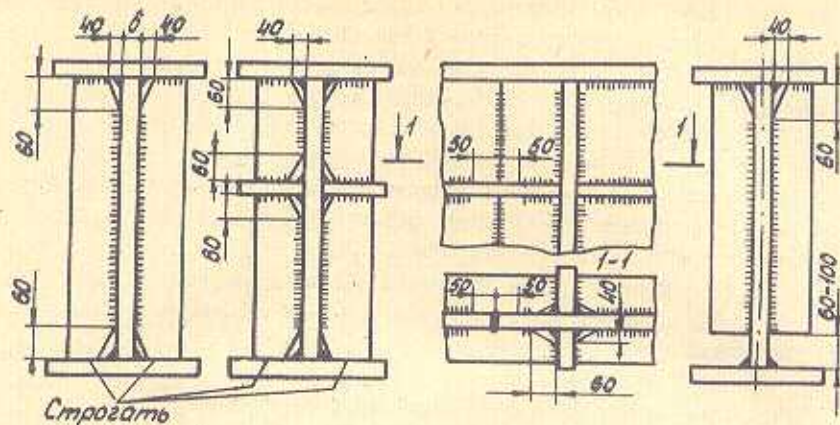


Рис.2.4. Схемы укрепления стенок балок поперечными и продольными ребрами жесткости

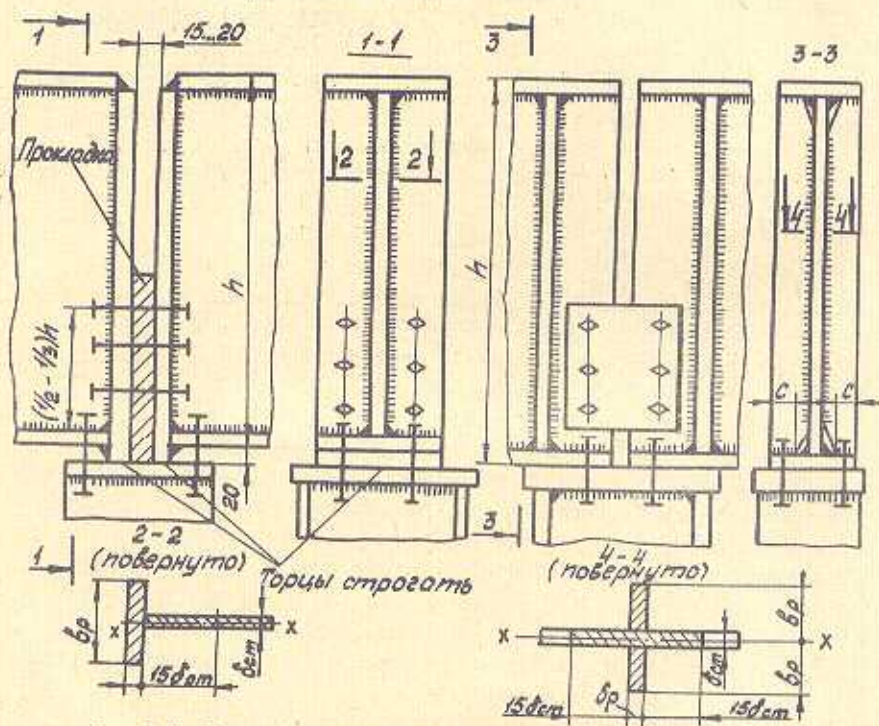


Рис.2.5. Типы устанавливаемых ребер жесткости

2.2.20. Продольное ребро жесткости ставится в скатой зоне на расстоянии $(0,2...0,3)h$ от скатой кромки отсека.

2.2.21. Сечение накладок на стенке принимается шириной 150...200мм и толщиной, примерно равной толщине стенки.

2.2.22. Для того чтобы второй конец балки не мог перемещаться, соответствующие отверстия в поясе выполняют сальными или же закрепления не делают.

2.2.23. Диаметр анкерных болтов принимается не менее 25 мм; с каждой стороны базы ставится не менее двух болтов.

2.2.24. Ширину опорной плиты следует назначать в соответствии с ГОСТ 82-70, толщину опорной плиты - в пределах 16...40 мм.

2.2.25. В местах изменения сечения располагают стык пояса. Косой стык как равнопрочный может находиться непосредственно в зоне изменения сечения, прямой - в месте изменения сечения нижнего пояса только при повышенных способах контроля качества соединений.

2.2.26. Поясные швы следует делать сплошными. Наименьшую толщину шва (по каталогу) h_w можно принимать равной 1/2 толщины стенки.

2.2.27. Во избежание пересечения поясных швов, прикрепляющих ребра жесткости, а также в целях снижения внутренних напряжений углы ребер жесткости срезают. Если через ребра жесткости не передается нагрузка на балку, их приваривают к стенке швами минимального размера.

2.3. Конструктивные требования к оформлению сварных колонн

2.3.1. В сварных колоннах следует применять уголки размером не менее 45х4 мм.

2.3.2. Следует стремиться к такому распределению общей площади сечения стержня сплошной сварной колонны (рис.2.6), чтобы около 80% приходилось на долю поясов.

2.3.3. Ширину планок безраскосной решетки принимают равной $(0,5...0,75)B$, где B - ширина поперечного сечения стержня колонны.

2.3.4. Толщину планок назначают в пределах 6...12 мм.

2.3.5. Во избежание закручивания планок должны выдерживаться отношения:

$$a/t \leq 30; \quad b/t \leq 50,$$

где a - ширина планки; t - толщина планки; b - длина планки.

2.3.6. Планки заводят на затяжку на расстояние $\Delta = 30...40$ мм (рис.2.7).

2.3.7. Для того чтобы приварку выполнять без фасонок, раскосы

разрешается конструировать с выходом на наружную кромку ветви (рис.2.8)

2.3.8. Для предотвращения закручивания стержня сварной колонны в нем предусматривают жесткие поперечные диафрагмы (рис.2.9) примерно через 4 м по высоте. Чаще всего их устраивают из листа толщиной 8...12 мм, привариваемого к ветвям колонны и планкам безраскосной решетки.

2.3.9. Для обеспечения необходимой жесткости ширину колонн постоянного сечения принимают равной приблизительно $I/15 H$ при $H=10 \dots 12 m$; $I/18 H$ при $H = 14 \dots 16 m$; $I/20 H$ при $H > 20 m$ (H - высота колонны).

2.3.10. Толщину стенки колонны устанавливают из условия прочности на срез и в пределах $(I/60 \dots I/120) h$ для обеспечения устойчивости, но не менее 8 мм. Здесь h - высота сечения.

2.3.11. В колоннах с достаточно развитым сечением пояслей ставятся дополнительные диафрагмы примерно через 4 м по высоте колонны.

2.3.12. Если стойка колонны (стойки) принимается меньше минимальной толщины, то ее необходимо укреплять продольным ребром жесткости. Рекомендуемые размеры продольных ребер: ширина $b_p > 10 b_{st}$; толщина $\delta_p > \frac{3}{4} b_{st}$.

2.3.13. Толщину опорной плиты назначают в пределах 16...40 мм.

2.3.14. Диаметр анкерных болтов в центрально-сжатых колоннах назначают конструктивно в пределах 20...36 мм.

2.4. Конструктивные требования к проектированию листовых конструкций

2.4.1. Технические требования к конструированию, изготовлению, приемке и доставке стальных сварных аппаратов (подводомственных и неподводомственных Госгортехнадзору) установлены ГОСТ 24306-80.

2.4.2. Основной тип сварных соединений листовых конструкций - стыковой, причем сварка должна по возможности выполняться с двух сторон. Односторонняя сварка допустима на подкладках или с подваркой корня.

2.4.3. Оптимальные размеры листов для стенок резервуаров переменной толщины равны 2000×12000 мм, для стенок постоянной толщины - 1500×10000 мм.

2.4.4. Оптимальная форма вертикальных резервуаров объемом 100...600 m^3 достигается при отношении $H/D = 1 \dots 0,25$, объемом до 10 тыс. m^3 - при $H/D = 0,5 \dots 0,2$, где H и D - высота и диаметр резервуара соответственно.

2.4.5. Оптимальная высота вертикальных резервуаров объемом до 10 тыс. m^3 составляет 12 м, что при наиболее распространенной ширине

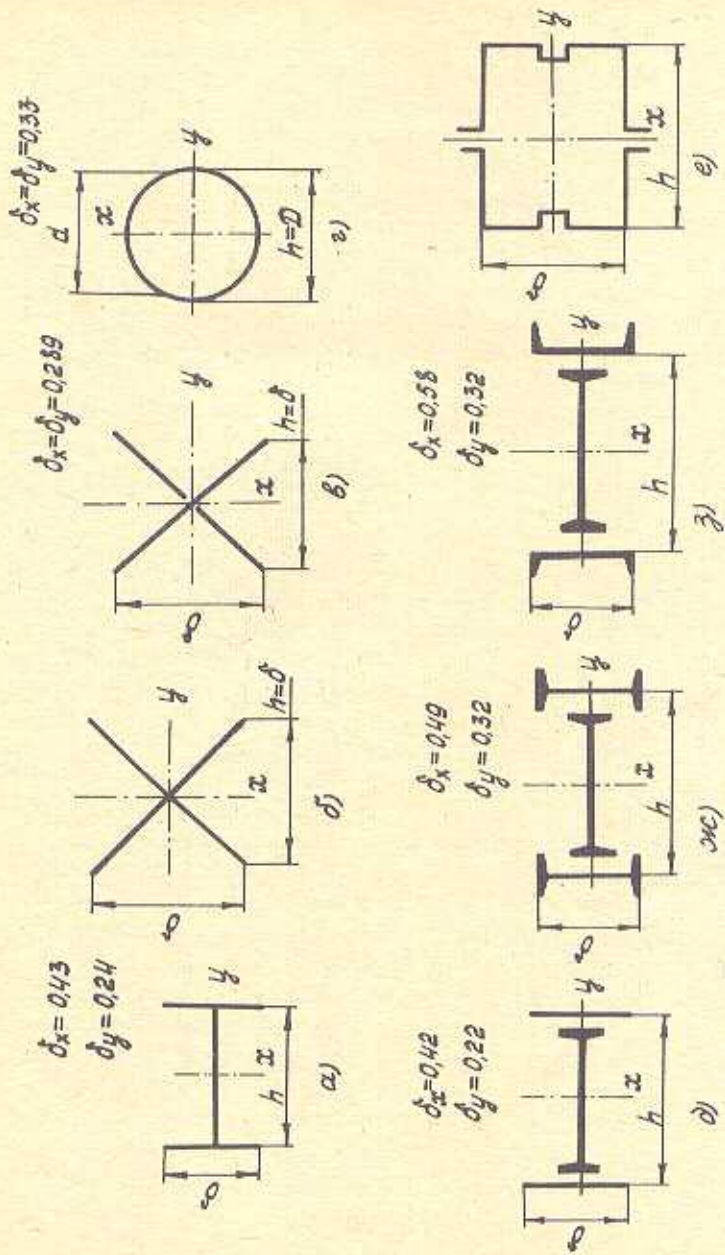


Рис. 2.6. Типы сечений стержней сплошных снаряженых колонн

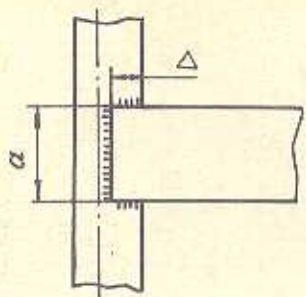


Рис.2.7. Схема крепления планок.

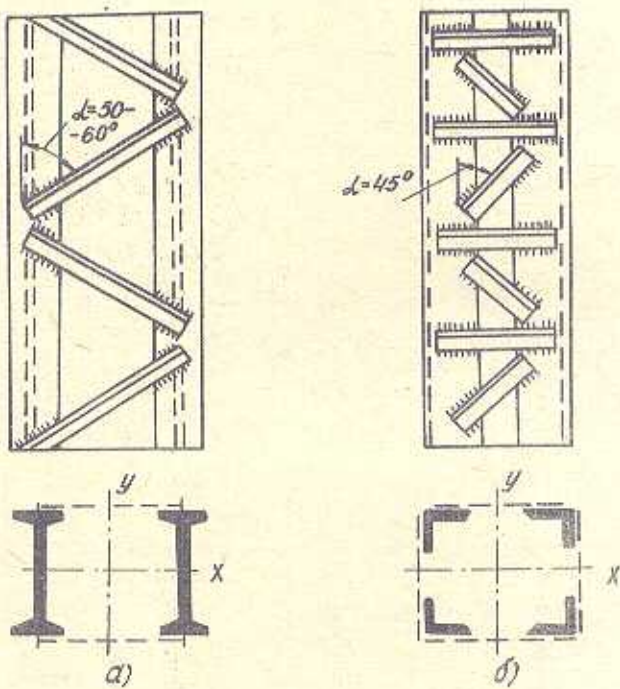


Рис.2.8. Схема крепления раскосов

листов 1500 мм требует устройства восьми поясов. Для резервуаров объемом 10...100 тыс. м³ высота принята равной 18 м, исходя из возможности рулонирования листов на современных механизированных станках.

2.4.6. Высоту стакки вертикального резервуара следует принимать кратной ширине листов, а диаметр назначать таким образом, чтобы длина окружности была кратной длине листов.

2.4.7. Толщина стакки для резервуаров объемом менее 1000 м³ принимается постоянной, объемом более 1000 м³ — переменной (рис. 2.10).

2.4.8. Толщина стакки вертикальных цилиндрических резервуаров назначается по расчету (на менее 4 мм) из условия удобства сварки и сопротивления коррозии. Соединение листов может быть стыковым (рис. 2.10, а) или при толщине стакки 4...5 мм нахлесточным. Во втором случае листы имеют гелескопическое (рис. 2.11, б) или отупенчатое (рис. 2.11, в) расположение по высоте.

2.4.9. При диаметре вертикального цилиндрического резервуара $D < 18$ м толщина днища $\delta = 4$ мм, при $D = 18 \dots 25$ м $\delta = 5$ мм, при $D > 25$ м $\delta = 6$ мм.

2.4.10. С целью уменьшения краевого эффекта крайние листы днища делают толще, назначая обычно толщину, равную 8 мм.

2.4.11. Крыша (покрытие) вертикальных цилиндрических резервуаров имеет коническую форму (уклон 1:20) и представляет собой щиты, состоящие из тонких листов (2,5...3 мм), которые уложены на каркас.

2.4.12. Продольные сварные швы отдельных цилиндрических заготовок (обечайки) должны быть смешены по отношению друг к другу на расстояние, равное удвоенной толщине более толстого листа, но не менее 100 мм (между осьми).

2.4.13. Соединения листов толщиной менее 5 мм, а также монтажные соединения допускается предусматривать нахлесточными.

2.4.14. При нахлесточном соединении наружные сварные швы корпуса вертикального цилиндрического резервуара заполняют сплошными, внутренние прерывистыми, длиной 100 мм, с просветами в 300 мм.

2.4.15. Расстояние между опорами горизонтальных цилиндрических резервуаров должно быть равно $0,586 l_p$, где l_p — расчетная длина резервуара.

2.4.16. Конструкция аппаратов должна предусматривать возможность внутреннего осмотра, очистки, промывки, продувки.

2.4.17. Крышки люков и люков конструируют съемными. При массе съемных крышек более 20 кг должны быть предусмотрены соответствующие подъемные приспособления.

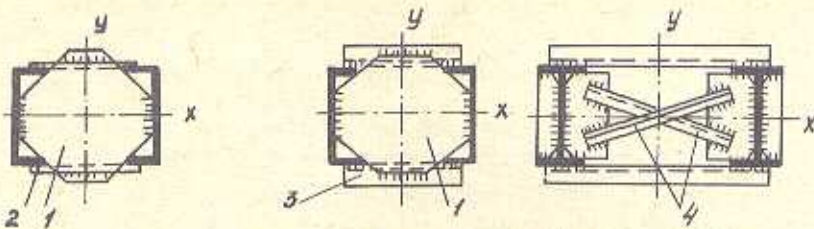


Рис.2.9.Схема установки попаречных диафрагм жесткости

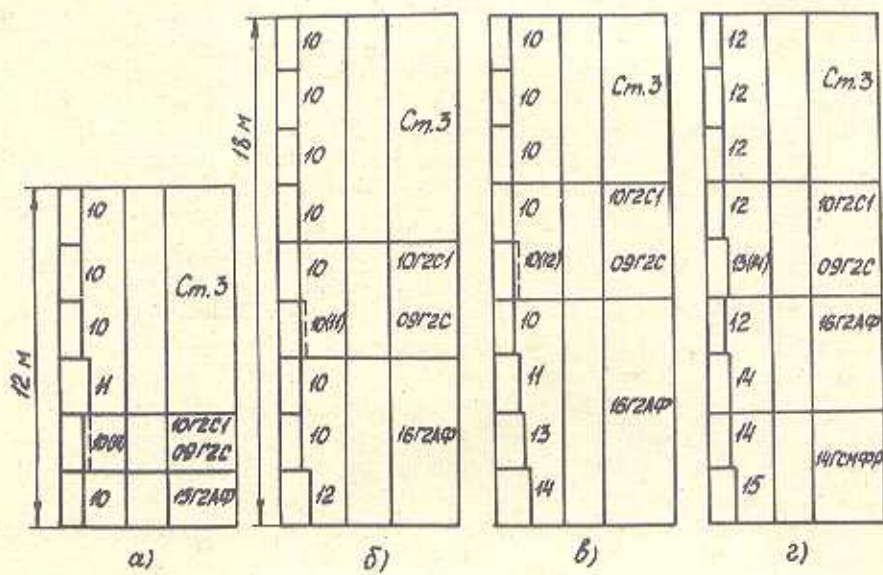


Рис.2.10.Рекомендуемые толщины стенок резервуаров



Рис.2.11.Соединение листов стаков вертикальных цилиндрических резервуаров

2.4.18. Все основные сварные соединения в аппаратах, как правило, должны бытьстыковыми двусторонними или с подваркой, доступными для осмотра и контроля.

2.4.19. В горизонтальных аппаратах, нижняя часть которых недоступна для осмотра, продольные сварные швы на корпусе не должны быть ниже сектора в 140° .

2.4.20. В местах присоединения опор к аппарату наличие сварных швов, как правило, не допускается. При несоблюдении этого требования необходимо предусмотреть возможность контроля шва под опорой.

2.4.21. При сварке отдельных элементов аппарата расстояние между краями смежных швов должно быть не менее большей толщины соединяемой стенки.

2.4.22. Расположение отверстий для лазов, люков и штуцеров, как правило, должно быть вне сварных швов. Как исключение, допускается устройство отверстий на швах при условии двустороннего провара швов и укрепления отверстий.

2.4.23. Отдельные узлы, детали и аппарат в целом должны быть технологичными в изготовлении, иметь минимальную металлоемкость (без ущерба для прочности и жесткости), быть удобными в сборке, разборке и эксплуатации.

3. ПРИМЕРЫ РАСЧЕТА СВАРНЫХ КОНСТРУКЦИЙ

3.1. Составные балки

Последовательность расчета и проектирования сварных составных балок:

- а) определение схема нагрузки балки;
- б) построение эпир изгибающих моментов M и поперечных сил Q ;
- в) вычисление максимальных значений M и Q ;
- г) построение сводных диаграмм M_{max} и A_{max} ;
- д) определение высоты балки из условий жесткости и экономичности;
- е) проектирование поперечного сечения балки;
- ж) проверка проектируемого сечения по распределению металла и условиям прочности;
- з) проверка общей устойчивости балки;
- и) определение и обеспечение местной устойчивости балки;
- к) расчет и проектирование сварных соединений;
- л) проектирование стыков балки;

В целях экономии металла проектируем балку переменного по длине сечения, поэтому развитие пластических деформаций можно допустить только в одном сечении - с максимальным изгибающим моментом. Задавалась коэффициентами $C_1 = 1,1$ (C_1 - коэффициент, учитывающий развитие пластических деформаций; $C_1 \leq 1,2$), $m = 1$ (m - коэффициент, учитывающий условия работы) и принимая минимальное расчетное сопротивление листового проката из стали указанной марки, находим

$$W_x = \frac{M_{max}}{C_1 \cdot R} \frac{3330 \cdot 10^3}{1,1 \cdot 215 \cdot 10^6} \approx 14,1 \cdot 10^{-3} \text{ м}^3 = 14100 \text{ см}^3,$$

где W_x - требуемый момент сопротивления.

Справедление высоты балки

Принимая $f/\ell = 1/400$, находим минимальную высоту балки:

$$\begin{aligned} h_{min} &= \frac{5}{24} \cdot \frac{R \cdot \ell^2}{E \cdot f} \cdot \frac{g_H}{g} = \\ &= \frac{5}{24} \cdot \frac{215 \cdot 10^6 \cdot 12 \cdot 400}{206 \cdot 10^9} \cdot 155 = 0,874 \text{ м} = 874 \text{ мм}. \end{aligned}$$

Находим ориентировочную толщину стеки (рис.З.2)

$$\delta_{ct} = \gamma + 3 \frac{h_{min}}{1000} = \gamma + 3 \frac{874}{1000} \approx 10 \text{ мм}.$$

Определяем оптимальную высоту:

$$h_{opt} = K \sqrt{\frac{W_x}{\delta_{ct}}} = 1,1 \sqrt{\frac{14100}{10}} \approx 131 = 1310 \text{ мм},$$

где K - коэффициент, зависящий от конструктивного оформления балки; при постоянном сечении его принимают равным 1,1...1,15.

Соотношение $h_{opt}/\delta_{ct} = 131/10 = 131$ находится в рекомендуемых пределах (табл.З.1), и его корректировка не требуется. Сравнивая полученные значения высоты, принимаем $h = 1300 \text{ мм}$, что больше h_{min} и почти не отличается от h_{opt} .

Проектирование поперечного сечения балки

При $h_{opt} \approx h$ минимальная требуемая толщина стеки из условия прочности стеки на срез Q_{max}

$$\begin{aligned} \delta_{ct} &= \frac{3}{2} \cdot \frac{Q_{max}}{h \cdot R_{CAB}} = \frac{3 \cdot 1110 \cdot 10^3}{2 \cdot 1,5 \cdot 130 \cdot 10^6} = \\ &= 9,85 \cdot 10^{-3} \text{ м} \approx 10 \text{ мм}. \end{aligned}$$

Здесь расчетное сопротивление сдвигу $R_{CAB} = 0,56$ $R = 0,58$ 224 МПа = 130 МПа, где R соответствует листовому прокату толщиной 4...20мм

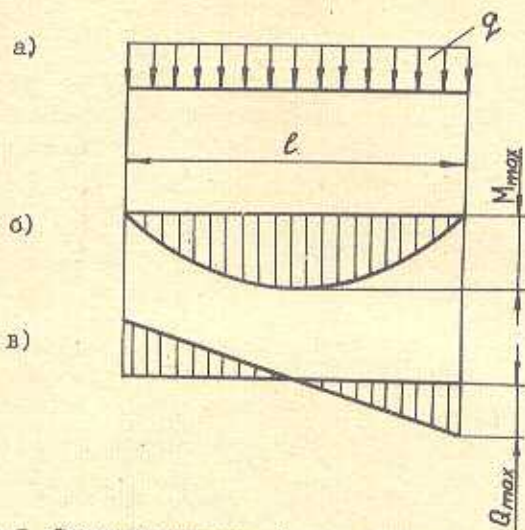


Рис.3.1. Схема нагружения балки и эпюры действия поперечных сил и изгибающих моментов

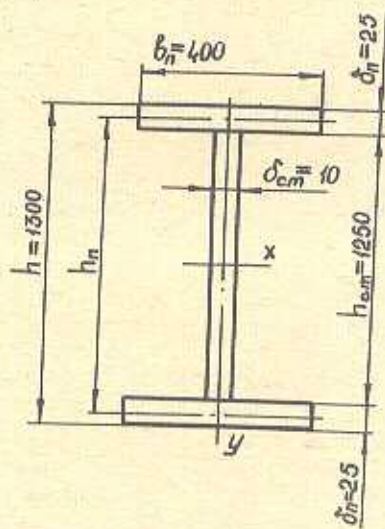


Рис.3.2. Спроектированное сечение сплошной сварной балки

из стали В СтЗ по ГОСТ 380-71.

Нетрудно видеть, что по условию прочности

$$\delta_{cr} \geq \frac{Q_{max}}{h_{cr} \cdot R_{cav} \cdot t}$$

потребуется в 1,5 раза меньшая толщина стенки, а из условия обеспечения местной устойчивости стенки без укрепления продольным ребром жесткости

$$\delta_{cr} = \frac{h}{6} \cdot \sqrt{\frac{R_{cav}}{E}} = \frac{1300}{6} \cdot \sqrt{\frac{225}{206 \cdot 10^3}} = \\ = 7,2 \text{ мм}^2 < 10 \text{ мм},$$

где R_{cav} - расчетное сопротивление металла стенки сжатию;
 E - модуль упругости стали.

Таким образом, принятая толщина стенки $\delta = 10$ мм может быть оставлена без изменения.

Требуемая площадь сечения пояса

$$F_p = \frac{W_x}{h} = \frac{\delta_{cr} \cdot h}{6} = \frac{14100}{130} = \frac{1 \cdot 130}{6} \cdot \text{см}^2 = 86,8 \text{ см}^2.$$

В соответствии с сортаментом прокатной стали (ГОСТ 19903-74) назначаем высоту стенки $h_{cr} = 1250$ мм. Тогда толщина каждого поясного листа

$$\delta_p = \frac{h - h_{cr}}{2} = \frac{130 - 1250}{2} = 25 \text{ мм},$$

требуемая ширина

$$b_p \geq \frac{F_p}{\delta_p} = \frac{86,8}{2,5} \approx 35 \text{ см} = 350 \text{ мм}.$$

В соответствии с сортаментом на сталь широкополосную универсальную (ГОСТ 82-70) принимаем с некоторым запасом (учитывая приближенность указанной формулы) листы из универсальной стали сечением $b_p \times \delta_p = 400 \times 25$ мм, соблюдая условия:

$$\delta_p < 3 \delta_{cr} = 3 \cdot 10 \text{ мм} = 30 \text{ мм};$$

$$\frac{b_p}{h} = \frac{400}{1300} = \frac{1}{3,25}.$$

Местную устойчивость сжатого верхнего пояса определяют из условия

$$\frac{b_{cv}}{\delta_p} = \frac{b_p - \delta_{cr}}{2 \cdot \delta_p} = \frac{400 \cdot 10}{2 \cdot 25} = 7,8,$$

что при отношении

$$\frac{h_{cr}}{\delta_{cr}} = \frac{1250}{10} = 125 > 2,7 \sqrt{\frac{E}{K}} =$$

$$= 2,7 \sqrt{\frac{206 \cdot 10^3}{215}} = 2,7 \cdot 30,95 = 83,6$$

не превышает значения

$$0,11 \frac{h_{cr}}{\delta_{cr}} = 0,11 \cdot 125 = 13,75,$$

которое, в свою очередь, меньше 0,5 $\sqrt{\frac{E}{K}} = 0,5 \cdot 30,95 = 15,5$.

Здесь b_{cs} - расчетная ширина свеса листового листа сварной балки (расстояние от граней стенки до края листа).

Принятое сечение балки изображено на рис.3.2.

Площадь

$$\begin{aligned} F &= F_{cr} + 2F_n = \delta_{cr} \cdot h_{cr} + 2b_n \cdot \delta_n = \\ &= 0,01 \cdot 1,25 + 2 \cdot 0,4 \cdot 0,025 = (125 + 2 \cdot 100) \cdot 10^{-4} = \\ &= 325 \cdot 10^{-4} \text{ м}^2. \end{aligned}$$

Статический момент площади половины сечения относительно нейтральной оси

$$\begin{aligned} S_x &= \frac{F_n \cdot h_n}{2} + \frac{F_{cr}}{2} \cdot \frac{h_{cr}}{4} = \frac{b_n \delta_n (h - \delta_n)}{2} + \frac{\delta_{cr} \cdot h_{cr}^2}{8} = \\ &= 0,4 \cdot 0,025 (1,3 - 0,025)/2 + 0,01 \cdot 1,25^2/8 = (638 + 195) \cdot 10^{-5} = \\ &= 833 \cdot 10^{-5} \text{ м}^3. \end{aligned}$$

Момент инерции площади сечения

$$\begin{aligned} I_x &= I_{cr} + 2I_n = \frac{\delta_{cr} \cdot h_{cr}^3}{12} + 2b_n \delta_n \left(\frac{h - \delta_n}{2} \right)^2 = \\ &= \frac{0,01 \cdot 1,25^3}{12} + 2 \cdot 0,4 \cdot 0,025 \cdot 0,6375^2 = 976 \cdot 10^{-5} \text{ м}^4. \end{aligned}$$

Момент сопротивления

$$W_x = \frac{2I_x}{h} = \frac{2 \cdot 976 \cdot 10^{-5}}{1,3} = 15 \cdot 10^{-3} \text{ м}^3.$$

Нормативный вес I и длины балки

$$\begin{aligned} q_{bh} &= mg = \rho F g = 7850 \cdot 325 \cdot 10^{-4} \cdot 9,81 = \\ &= 2500 \text{ Н/м} = 2,5 \text{ кН/м}, \end{aligned}$$

где m - масса 1 м балки; $\rho = 7850 \text{ кг/м}^3$ - плотность стали;
 $g = 9,81 \text{ м/с}^2$ - ускорение свободного падения.

Суммарная расчетная нагрузка (с учетом данных табл. П.1).

$$q' = q + q_{bh} \cdot \gamma_f = 185 + 2,5 \cdot 1,05 \approx 188 \text{ кН/м.}$$

Максимальный изгибающий момент (рис. 3.3)

$$M'_{max} = \frac{q' l^2}{8} = \frac{188 \cdot 12^2}{8} \approx 3380 \text{ кНм.}$$

Поперечная сила

$$Q'_{max} = \frac{q' l}{2} = \frac{188 \cdot 12}{2} \approx 1130 \text{ кН.}$$

Проверка проектируемого сечения
по нормальным напряжениям

$$\sigma = \frac{M'_{max}}{C_1 W_x} = \frac{3380}{1,09 \cdot 15 \cdot 10^{-3}} = \\ = 207 \cdot 10^6 \text{ Па} = 207 \text{ МПа} < R = 215 \text{ МПа},$$

где $C_1 = C$ (табл. 3.2), поскольку в сечении с максимальным изгибающим моментом поперечная сила $Q = 0$ (рис. 3.1). Отношение $F_n / F_{ct} = 100 / 125 = 0,8$ (табл. 3.2) соответствует значение $C = 1,09$. Расчетное сопротивление R принято, исходя из толщины полосных листов: $2I < \delta_p = 25 \text{ мм} < 40$.

Неденапряжение

$$\Delta \sigma = \frac{R - \sigma_{max}}{R} \cdot 100\% = \frac{215 - 207}{215} \cdot 100\% = 3\% < 5\%.$$

По касательным напряжениям

$$\tau_{max} = \frac{\sigma_{max} \cdot S_x}{I_x \cdot G_{ct}} = \frac{1130 \cdot 10^3 \cdot 833 \cdot 10^{-5}}{946 \cdot 10^{-3} \cdot 0,01} = 96 \cdot 10^6 \text{ Па} = \\ = 96 \text{ МПа} < R_{ctab} = 130 \text{ МПа.}$$

Таким образом, прочность балки при раздельном действии нормальных и касательных напряжений обеспечена. Проверка жесткости не требуется, потому что принятая высота балки $h = 1300 \text{ мм}$ значительно превышает $h_{min} = 880 \text{ мм}$.

Стык растянутого пояса выполняют в виде прямого шва с визуальным контролем качества.

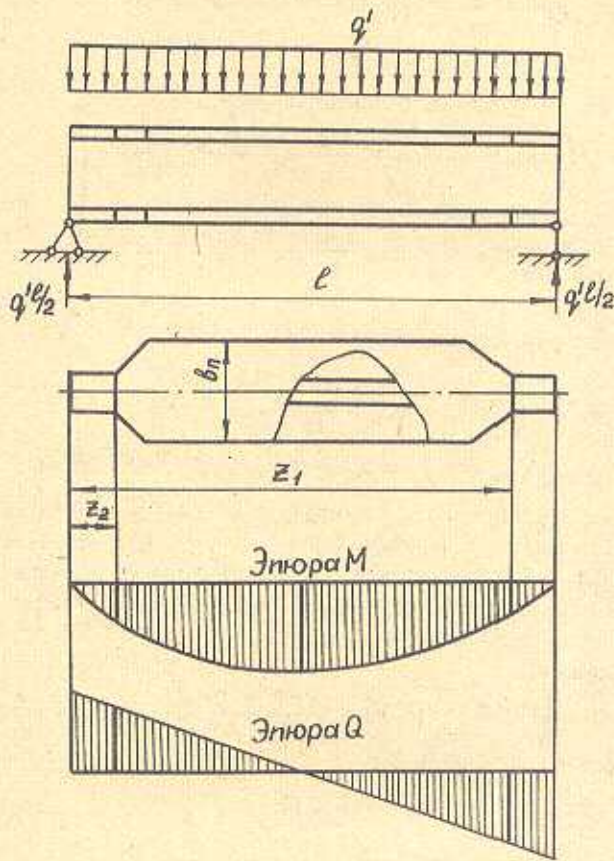


Рис.3.3. Схема нагрузки балки

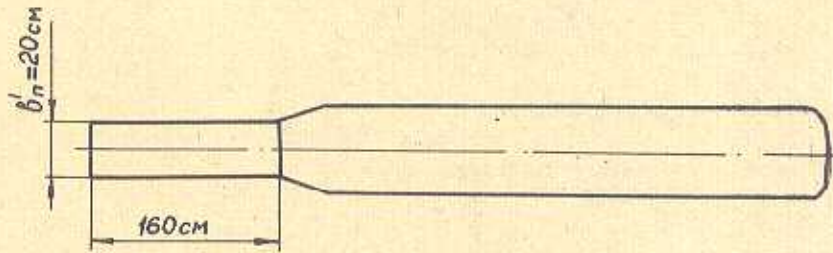
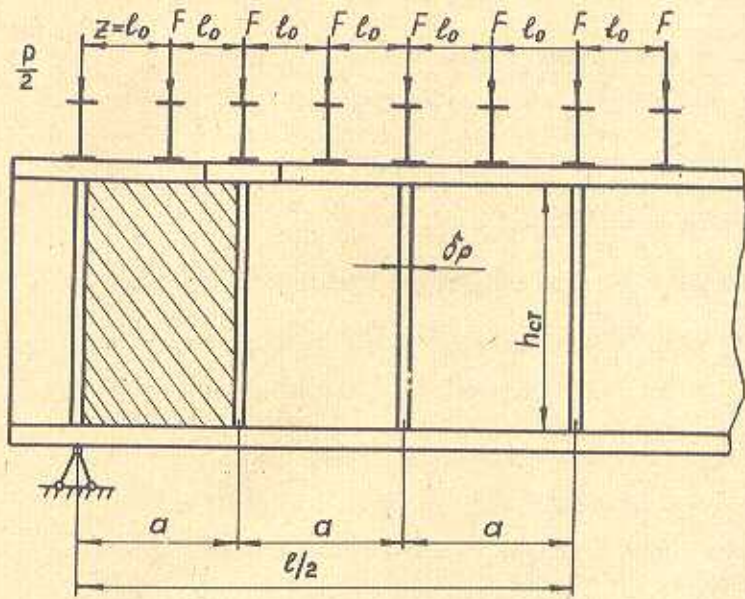


Рис.3.4. Определение места изменения сечения балки

Уменьшим ширину поясов в 2 раза, назначая $\delta'_n = \delta_n/2 = 400/2$ мм = 200 мм, что больше 180 мм; $h/10 = 1300/10$ мм = 130 мм.

Тогда момент инерции площади измененного сечения

$$I'_x = \frac{163 + 813 \cdot 0.3}{0.4} \cdot 10^{-5} = 569 \cdot 10^{-5} \text{ м}^4.$$

Соответственно момент сопротивления

$$W'_x = \frac{2 \cdot 569 \cdot 10^{-5}}{1.5} \text{ м}^3 = 8.75 \cdot 10^{-5} \text{ м}^3.$$

Предельный изгибающий момент, воспринимаемый измененным сечением,

$$\begin{aligned} M_n &= R_{cp} \cdot W'_x = 180 \cdot 10^6 \cdot 8.75 \cdot 10^{-5} = \\ &= 1575 \cdot 10^3 \text{ Н} \cdot \text{м} = 1575 \text{ кН} \cdot \text{м}, \end{aligned}$$

где R_{cp} - расчетное сопротивление срезу;

$$R_{cp} = 0.85 R = 0.85 \cdot 215 \text{ МПа} \approx 180 \text{ МПа}.$$

Аналитическое выражение изгибающего момента в произвольном сечении балки

$$M(z) = \frac{q' \cdot l \cdot z}{2} - \frac{q' \cdot z^2}{2}.$$

Приравниваем правые части равенств (3.1) и (3.2):

$$\frac{q' \cdot l \cdot z}{2} - \frac{q' \cdot z^2}{2} = 1575 \text{ или } z^2 - l \cdot z + \frac{3150}{q'} = 0.$$

Решая это квадратное уравнение, находим:

$$\begin{aligned} z_{1,2} &= \frac{l}{2} \pm \sqrt{\frac{l^2}{4} - \frac{3150}{q'}} = \frac{12}{2} \pm \sqrt{\frac{12^2}{4} - \frac{3150}{188}} = \\ &= 6 \pm 4.39 \text{ м}; \quad z_1 \approx 10.4 \text{ м}; \quad z_2 \approx 1.6 \text{ м}. \end{aligned}$$

Статический момент площади половины сечения

$$S_x = \left(\frac{638 \cdot 0.2}{0.4} + 195 \right) \cdot 10^{-5} = (319 + 195) \cdot 10^{-5} = 514 \cdot 10^{-5} \text{ м}^3.$$

Максимальные касательные напряжения

$$\tau_{max} = \frac{1130 \cdot 10^3 \cdot 514}{569 \cdot 0.01} \text{ Па} = 102 \cdot 10^6 \text{ Па} = 102 \text{ МПа} < R_{cas} = 150 \text{ МПа}.$$

Поскольку балка несет равномерно распределенную нагрузку, расчет ведем по формуле

Проверка общей устойчивости балки

На крайних участках, где уменьшена ширина поясов, отношение $\ell_0/b_p' = 100/20 = 5$ меньше наибольшего значения, подсчитанного по формуле

$$\begin{aligned} \frac{\ell}{b_p'} &= \left[\delta + \frac{0,0032 B_p'}{\delta_p} + \frac{\left(\frac{\delta - \delta_p}{\delta_p} \right) B_p'}{h_{cr} - \delta_p} \right] \sqrt{\frac{E}{R}} = \\ &= \left[0,35 + \frac{0,0032 \cdot 20}{2,5} + \frac{\left(\frac{0,76 - 0,02 \cdot 20}{2,5} \right) 20}{130 - 2,5} \right] \sqrt{\frac{206 \cdot 10^3}{215}} = \\ &= (0,35 + 0,0256 + 0,094) \cdot 30,95 = 14,5, \end{aligned}$$

где δ , δ' — коэффициенты, приведенные в табл. 3.3.

В средней части балки, где отношение $\ell_0/b_p = 100/40 = 2,5$, допускается развитие пластических деформаций в сечении с максимальным изгибующим моментом. Следовательно, наибольшее значение этого отношения необходимо умножить на понижющий коэффициент C_1 (табл. 3.4), зависящий от отношения сторон a/h_{cr} рассматриваемого отсака стенки (рис. 3.4).

Тогда при $C = C_1$

$$\delta = 1 - 0,7 = 0,3.$$

Отсюда

$$\frac{\delta \cdot \ell}{b_p} = 0,3 \left[(0,35 + 0,0256 + 0,094) \cdot 30,95 \right] = 4,8 > 2,5.$$

Таким образом, общая устойчивость балки обеспечена.

Устойчивость сжатого верхнего пояса также обеспечена (рис. 3.4), поскольку

$$\frac{B_{cr}}{\delta_p} = 7,8 < 0,11 \quad \frac{h_{cr}}{\delta_{cr}} = 13,75,$$

где B_{cr} — ширина свеса полки.

Определение и обеспечение местной устойчивости балки

Условная гибкость

$$\bar{\lambda}_{cr} = \frac{h_{cr}}{\delta_{cr}} \sqrt{\frac{R}{E}} = \frac{125}{1} \sqrt{\frac{225}{206 \cdot 10^3}} = \frac{125}{30,26} = 4,13 > 3,2,$$

т.е. условие $\bar{\lambda}_{cr} \leq \sqrt{103}$ не выполняется, поэтому нужно поставить попаречные ребра жесткости; так как $\bar{\lambda}_{cr} > 2,5$, то необходима проверка устойчивости стенки.

Таблица 3.3

Коэффициенты ξ и ζ

Приложение нагрузки	ξ	ζ
К верхнему поясу	0,35	0,76
К нижнему поясу	0,57	0,92
Независимо от места приложения при расчете участка балки между связями или при чистом изгибе	0,41	0,73

Таблица 3.4

Коэффициент C_f для сварных балок

Балки	δ	Значения C_f при a/h_{st}									
		0,5	0,6	0,8	1,0	1,2	1,4	1,6	1,8	2	
Стальные	≤ 1	11,5	12,4	14,8	18,0	22,1	27,1	32,6	38,9	45	
	2	12,0	13,0	16,1	20,4	25,7	32,1	39,2	46,5	55	
	4	12,3	13,3	16,6	21,6	28,1	36,3	45,2	54,9	65	
	6	12,4	13,5	16,8	22,1	29,1	38,3	48,7	59,4	70	
	10	12,4	13,6	16,9	22,5	30,0	39,7	51,0	63,3	76	
	≥ 30	12,5	13,7	17,0	22,9	31,0	41,6	53,8	68,2	83	
Алюминиевые	-	3,80	4,13	4,93	6,0	7,37	9,03	10,9	13,6	15	

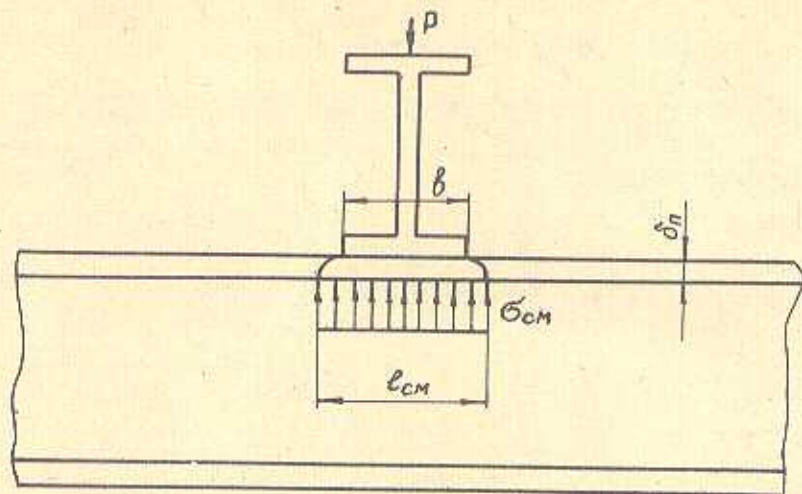


Рис.3.5.Схема определения напряжений смятия

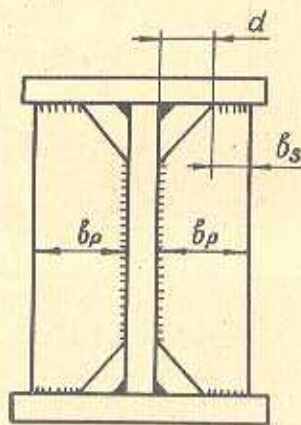


Рис.3.6.Поперечные ребра жесткости

Вследствие частого расположения балок настила прежде всего целесообразно выяснить, возможна ли расстановка ребер на расстоянии, равном удвоенному шагу балок:

$$\alpha = 2 \quad l_0 = 2 \text{ м} = 2 \text{ м} < 2 h_{cr} = 2 \cdot 1,25 = 2,5 \text{ м.}$$

Проверяем устойчивость стекки с учетом местных напряжений под балкой настила в отсеке, где изменяется сечение рассматриваемой балки, т.е. на расстоянии $Z = l_0 = 1 \text{ м}$ от опоры.

Изгибающий момент

$$M = \frac{q' \cdot Z (l - Z)}{2} = \frac{188 \cdot 1 (12 - 1)}{2} = 1034 \text{ кН} \cdot \text{м.}$$

Поперечная сила

$$Q = q^2 \left(\frac{l}{2} - Z \right) = 188 \left(\frac{12}{2} - 1 \right) = 940 \text{ кН.}$$

Краевое нормальное напряжение в стекке

$$\sigma = \frac{M}{I_x} \cdot \frac{h_{cr}}{2} = \frac{1034 \cdot 10^3}{569 \cdot 10^{-5}} \cdot \frac{1,25}{2} \approx 144 \cdot 10^6 \text{ Па} = 144 \text{ МПа.}$$

Среднее касательное напряжение

$$\tau = \frac{Q}{\delta_{cr} \cdot h_{cr}} = \frac{940 \cdot 10^3}{0,01 \cdot 1,25} \approx 75 \cdot 10^6 \text{ Па} = 75 \text{ МПа.}$$

Местное напряжение смятия

$$\sigma_{cm} = \frac{F}{\delta_{cr} (B + 2\delta_p)} = \frac{188 \cdot 10^3}{0,01 (0,135 + 2 \cdot 0,025)} \approx \\ \approx 102 \cdot 10^6 \text{ Па} = 102 \text{ МПа,}$$

где $F = \frac{q' l}{n} = \frac{188 \cdot 12}{12} = 188 \text{ кН}$ – сосредоточенная нагрузка от балок настила, опирающихся на рассматриваемую балку ($n = \frac{l}{l_0} = \frac{12}{1} = 12$); B – длина нагруженного участка пояса (ширина полки поперечной балки) (рис. 3.5). Длина нагруженного участка $B = 13,5 \text{ см}$ соответствует ширине полки дугавра № 30, из которого запроектированы балки настила.

Коэффициент защемления стекки в пятах

$$\delta = B \left(\frac{\delta'_n}{h_{cr}} \right) \left(\frac{\delta_p}{\delta_{cr}} \right)^3 = 0,8 \left(\frac{20}{12,5} \right) \cdot \left(\frac{2,5}{1} \right)^3 = 2.$$

Отношение сторон отсека

$$\mu = \frac{\alpha}{h_{cm}} = \frac{2}{1,25} = 1,6.$$

Отношение напряжений (табл. 3.5)

$$\frac{\sigma_{cm}}{\sigma} = \frac{102}{114} = 0,895 > 0,543.$$

Таблица 3.5

Предельные значения b_{cm}/b для стальных сварных балок симметричного сечения

δ	Значения b_{cm}/b при a/h_{cr}							
	0,8	0,9	1,0	1,2	1,4	1,6	1,8	2
≤ 1	0	0,146	0,183	0,267	0,359	0,445	0,540	0,618
2	0	0,109	0,169	0,227	0,406	0,543	0,652	0,799
4	0	0,072	0,129	0,281	0,479	0,711	0,930	1,132
5	0	0,066	0,127	0,288	0,536	0,874	1,192	1,468
10	0	0,059	0,122	0,296	0,574	1,002	1,539	2,154
≥ 30	0	0,047	0,112	0,300	0,633	1,283	2,249	3,939

Таблица 3.6

Коэффициент C_2 для сварных балок

Балки	Значения C_2 при a/h_{cr}							
	$\leq 0,8$	0,9	1	1,2	1,4	1,6	1,8	2
Стальные 30...35	37	39,2	45,2	52,8	62	72,6	84,7	84,7
Алюминиевые	-	-	11,6	13,1	15,3	18	21	24,5
								28,4
								32,6
								37,1

Следовательно, критическое нормальное напряжение определяем по формуле

$$\sigma_{kp} = \frac{C_2 \cdot R}{\lambda_{cm}^2} = \frac{62 \cdot 225}{4,13^2} = 818 \text{ МПа},$$

где C_2 - коэффициент (табл.3.6).

Критическое местное напряжение

$$\sigma_{mkp} = \frac{C_1 R}{\lambda \alpha^2} = \frac{39,2 \cdot 225}{6,61^2} = 202 \text{ МПа},$$

где коэффициент $C_1 = 39,2$ (табл.3.4)

$$\lambda \alpha = \frac{\alpha}{\delta_{cr}} \sqrt{\frac{R}{E}} = \frac{200}{1} / 30,26 = 6,61.$$

Критическое касательное напряжение

$$\tau_{kp} = 10,3(1 + 0,76/M^2) R_{cg} / \lambda_{ef}^2 = 10,3(1 + 0,76/1,6^2) \cdot \\ \cdot 130 / 4,13^2 = 102 \text{ МПа},$$

где $M_1 = \alpha/h_{cr} \geq 1$; R_{cg} - расчетное сопротивление (предел текучести при сдвиге); $R_{cg} = 0,58 R$; $\lambda_{ef} = \lambda_{cr}$, поскольку меньшей стороной отсека является высота стапки h_{cr} .

Найденные выражения и их критические значения подставляем в формулу

$$\sqrt{(6/\sigma_{kp} + 6m/\sigma_{mkp})^2 + (\tau/\tau_{kp})^2} = \\ = \sqrt{(114/818 + 102/202)^2 + (45/102)^2} = 0,978 < 1.$$

Таким образом, принятая расстановка ребер жесткости обеспечивает устойчивость стапки, и нет необходимости укреплять ее под каждой балкой. Проверка отсека с наибольшим изгибающим моментом не требуется ввиду незначительной поперечной силы.

Конструируем первые ребра (рис.3.6), ширина которых удовлетворяет условию

$$B_p \geq h_{cr}/30 + 40 = 1250/30 + 40 = 81,7 \text{ мм}.$$

Округляя, принимаем $B_p = 85$ мм.

Толщина ребер

$$\delta_p = 2 \cdot 85 / 30,26 \approx 6 \text{ мм.}$$

Предусматриваем полуавтоматическую приварку ребер к стенке сплошными двусторонними швами минимальной толщины ($K = 4$ мм).

Расчетное сопротивление смятию R_{cm} листового проката толщиной 4...20 мм из стали ВСгЭпоб составляет 350 МПа.

Требуемая площадь смятия

$$\delta_{cm} \geq R_A / R_{cm} = 1130 \cdot 10^3 / (350 \cdot 10^6) = 32,3 \cdot 10^{-4} \text{ м}^2 = 32,3 \text{ см}^2,$$

где R_A - опорная реакция, Н; R_{cm} - расчетное сопротивление смятию торцовой поверхности, Па.

Опорную реакцию можно полностью передать через ребра, плотно пригнанные к нижнему поясу балки. Их ширина b_p , исходя из ширины поясов на опоре, составит $(B_p - \delta_{cr})/2 = 9,5$ см.

Однако толщина каждого ребра $d = 40$ мм с учетом скоса для пропуска поясного шва (рис.3.6) получится слишком большой:

$$\delta_d \geq S_{cm} / 2 B_s = S_{cm} / [2(b_p - d)] = 32,3 / [2(9,5 - 4)] \approx 3 \text{ см}.$$

Поэтому вместо опорных ребер предусматриваем торцовую диафрагму (рис.3.7). Её ширину B_d назначаем равной ширине поясов балки на опоре B_p . Тогда необходимая толщина диафрагмы

$$\delta_d \geq b_p / B_d = 32,3 / 20 = 1,62 \text{ см}.$$

Принимаем полосу сечения $B_d \cdot \delta_d = 200 \cdot 18$ мм. При этом нижний край может быть выпущен не более чем на $\alpha = 1,5$, $\delta_d = 1,5 \cdot 18 = 27$ мм, так как в противном случае расчет придется вести не на смятие, а на сжатие ($R = 225$ МПа).

Расчет и проектирование сварных соединений

Предусматриваем приварку диафрагмы по всему внутреннему контуру ее касания с балкой, но условно считаем, что опорная реакция передается только вертикальными швами. Тогда при двух таких швах, зваренных полуавтоматически в один проход с использованием сварочной проволоки марки Св08А и не доведенных до обсих поясов на расстояние $A = 60$ мм, находим толщину углового шва (рис.3.8):

$$K \geq R_A / [2\beta(h_{cr} - 2A - \delta)R'_p] = \\ = 1130 \cdot 10^3 / [2 \cdot 0.9(1,25 - 2 \cdot 0.06 - 0,01) \cdot 180 \cdot 10^6] = \\ = 3,1 \cdot 10^{-3} \text{ м} = 3,1 \text{ мм},$$

где β - коэффициент глубины провара шва, зависящий от условий

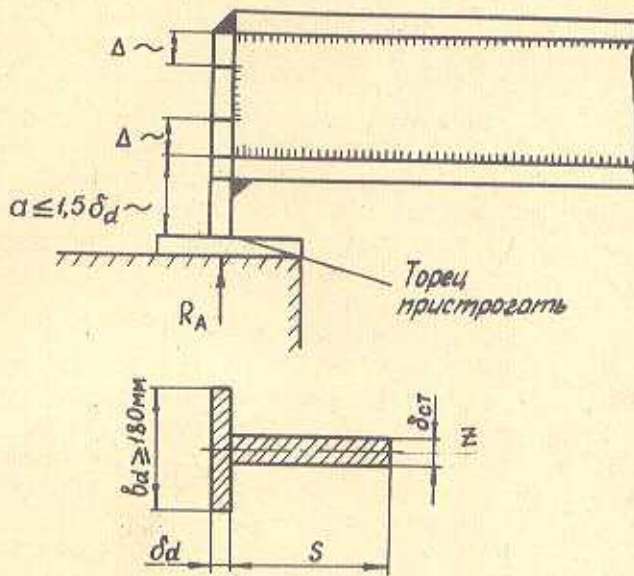


Рис.3.7
Основные размеры торцовой диафрагмы

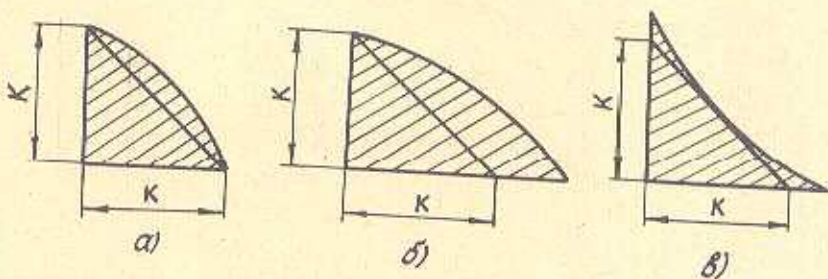


Рис.3.8
Определение толщины катета углового шва

сварки (при сварке стальных элементов его значение принимается по табл.П.5, при сварке алюминиевых элементов $\beta = 0,9$, если сварка одно- или двухходовая автоматическая; $\beta = 0,7$, если сварка ручная, полуавтоматическая или многопроходная автоматическая; $\beta = 0,8$ в прочих случаях нагружения балок); δ - коэффициент защемления стенки в поясах; $\delta = \gamma (\delta_{pl} / h_{ct}) (\delta_{pl} / \delta_{ct})^2$ при непрерывном оправлении на скатый пояс балки жестких плит.

Конструктивно назначаем $K = 6$ мм (табл.2.1). Указание об ограничении расчетной длины фланговых швов на рассматриваемый случай не распространяется, так как усилие сдвига от порной реакции действует по всей высоте диафрагмы.

Сравнение обоих вариантов конструктивного решения спорной части сварной балки показывает, что вариант с торцовой диафрагмой предпочтительнее. При одинаковой толщине диафрагма за счет своей ширины и отсутствия скосов всегда будет иметь большую, чем опорные ребра, площадь смятия. Кроме того, наличие диафрагмы позволяет опереть балку на колонну как сверху, так и сбоку. Устройство ребер допускает оправление только сверху.

Проектирование стыков балки

Поскольку стык стенки не должен совпадать с местом примыкания поперечной балки и приварки ребер жесткости, предусматривают соединение не посередине пролета, а на расстоянии $3,5 l_0$ от каждой из опор (рис.3.4). Таким образом, два монтажных стыка разбивают балку на три отправочных элемента.

Полный изгибающий момент в месте стыка

$$M = q' \cdot 3,5 l_0 (l - 3,5 l_0) / 2 = 188 \cdot 3,5 \cdot 1 (12 - 3,5 \cdot 1) / 2 \approx 2800 \text{ кН}\cdot\text{м}.$$

Изгибающий момент, воспринимаемый стенкой,

$$M_{ct} = M I_{ct} / I = 2800 \cdot 163 / 976 = 468 \text{ кН}\cdot\text{м},$$

где I - момент инерции площади всего сечения балки относительно нейтральной оси; I_{ct} - момент инерции стенки.

$$\begin{aligned} \text{Усилие в поясе } N_p &= (M - M_{ct}) / h_{ct} = \\ &= (2800 - 468) / 1,25 = 1866 \text{ кН}. \end{aligned}$$

Поперечная сила на месте стыка

$$Q = q' (l/2 - 3,5 l_0) = 188 (12/2 - 3,5 \cdot 1) = 470 \text{ кН}.$$

Расчет стыка растянутого пояса:

$$\begin{aligned}\sigma_w &= N_p / [\delta_n (B_n - 2\delta_n)] = \\&= 1866 \cdot 10^3 / 0,025 (0,4 - 2 \cdot 0,025) = 213 \cdot 10^6 \text{ Па} = \\&= 213 \text{ МПа} > R'_p = 0,85 R = 0,85 \cdot 215 \text{ МПа} \approx 180 \text{ МПа},\end{aligned}$$

где $R = 215$ МПа – расчетное сопротивление основного металла поясов.

Прочность прямого сварного шва оказалась недостаточной, поэтому стык должен быть косым.

Расчет стыка стеки:

$$\begin{aligned}\sigma_w &= \sigma_{ct} / [\delta_{ct} (h_{ct} - 2\delta_{ct})^2] = 6 \cdot 468 \cdot 10^3 / 0,01 (1,25 - \\&- 2 \cdot 0,01)^2 = 186 \text{ МПа} < R'_p = 0,85 R = 0,85 \cdot 225 \text{ МПа} \approx \\&\approx 190 \text{ МПа},\end{aligned}$$

где $R = 225$ МПа – расчетное сопротивление основного металла стеки.

Касательные напряжения

$$\begin{aligned}\tau &= 3Q / [2\delta_n (h_{ct} - 2\delta_n)] = \\&= 3 \cdot 468 \cdot 10^3 / [2 \cdot 0,01 (1,25 - 2 \cdot 0,01)] = \\&= 57 \cdot 10^6 \text{ Па} = 57 \text{ МПа} \ll R_{cg} = 0,58 R \\&= 0,58 \cdot 225 = 130 \text{ МПа},\end{aligned}$$

где R_{cg} – расчетное сопротивление стыкового сварного соединения сдвигу, Па.

Следовательно, прочность шва обеспечена.

Проверку приведенных напряжений по формуле

$$\sigma_{pr} = \sqrt{\sigma_w^2 + 3\tau_w^2} \leq 1,15 R'_p$$

можно не производить из-за малости касательных напряжений.

3.2. Сварные колонны

Последовательность расчета и проектирования сварных металлических колонн:

- определение расчетных усилий;
- определение расчетной схемы колонны;
- определение требуемой площади поперечного сечения;
- определение основных размеров поперечного сечения и элементов колонны;
- проверка сечения;

- а) проверка устойчивости стяжки и поясов колонны;
 ж) выбор конструкции базы:

выбор расчетной схемы базы,
 определение размеров опорной плиты в плане,
 определение толщины плиты,
 расчет трансверсы,
 расчет ребер жесткости,
 расчет швов, прикрепляющих элементы базы к плите;

- з) определение размеров элементов базы;
 и) расчет сварных швов.

Пример I. Подобрать двутавровое сечение стержня центрально-сжатой сплошной колонны высотой $H = 9$ м. Колонна в обоих направлениях защемлена снизу и шарнирно закреплена вверху. Материал - сталь ВстЗасб-І.

Определение расчетных усилий
 Колонна работает на центральное сжатие под действием давления, оказываемого одирающимися балками (рис.3.9).

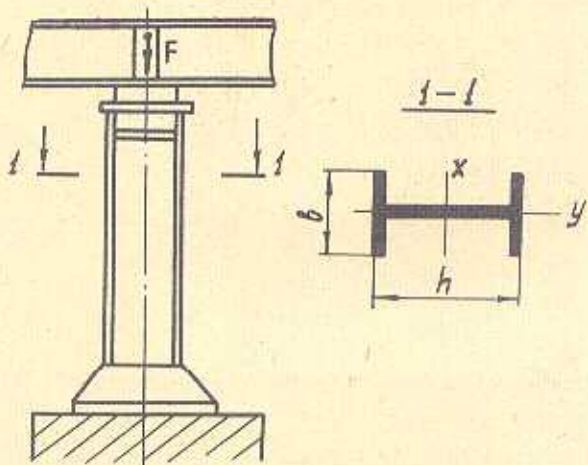


Рис.3.9. Схема нагружения колонны

$$\text{Расчетная сжимающая сила } F = 2R_A = 2 \cdot 1130 = 2260, \text{ кН.}$$

Определение расчетной схемы колонны

Согласно условию, расчетная схема колонны представлена на рис.3.10. Тогда расчетная длина в обоих направлениях $\ell_x = \ell_y = \ell_p = \mu \cdot H = 0,7 \cdot 9 = 6,3$ м.

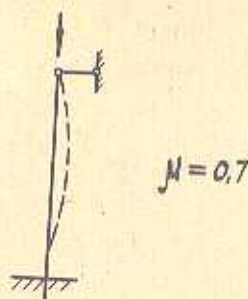


Рис.3.10. Схема защемления колонны

Определение требуемой площади поперечного сечения

Задаемся в первом приближении значением коэффициента продольного изгиба $\varphi_0 = 0,8$ (табл.3.7), чему соответствует гибкость $\lambda_0 \approx 62$ (для стержня из листового проката с расчетным сопротивлением $R = 230 \text{ МПа}$). Тогда при $N=F$ получаем

$$A = \frac{N}{\varphi_0 R} = \frac{2,260 \cdot 10^3}{0,8 \cdot 230 \cdot 10^6} \approx 123 \cdot 10^{-4} \text{ м}^2 = 123 \text{ см}^2,$$

где A – требуемая площадь поперечного сечения колонны.

Определение основных размеров поперечного сечения и элементов колонны (рис.3.11)

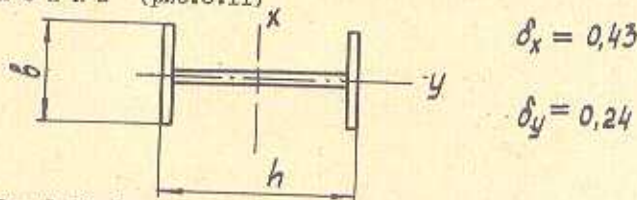


Рис.3.11. Поперечное сечение стержня колонны

Зная требуемую площадь поперечного сечения, находим толщину стенки:

$$\delta_{ст} = 0,2 \quad \frac{A}{h_{ст}} = \frac{0,2 \cdot 123}{36} = 0,68 \text{ см}.$$

Таблица 3.7

Коэффициенты Y продольного изгиба центрально-ожатых стальных элементов

λ	Значения Y для элементов из стали с расчетным сопротивлением						МПа
	200	240	280	320	360	400	
10	968	987	984	983	982	980	979
20	962	959	955	952	949	946	941
30	939	931	924	917	911	905	895
40	906	894	883	873	863	854	846
50	869	852	836	822	809	796	785
60	827	805	785	766	749	721	696
70	782	754	724	687	654	623	594
80	734	686	641	602	566	532	501
90	665	612	565	522	483	447	413
100	599	542	493	448	408	369	335
110	537	478	427	381	338	306	280
120	479	419	366	321	287	260	237
130	425	364	313	276	247	223	204
140	376	315	272	240	215	185	178
150	328	276	239	211	189	171	157
160	290	244	212	187	167	152	139
170	259	216	189	167	150	136	125
180	235	196	170	150	135	123	112
190	210	177	154	136	122	111	102
200	191	161	140	124	111	101	93
210	174	147	128	113	102	93	85
220	160	135	118	104	94	86	77

Примечание. Значения коэффициента Y в таблице увеличены в 1000 раз.

Округлая, назначаем $\delta_{ct} = 0,8$ см. Тогда площадь, приходящаяся на дюйм поясов

$$A_p = A - h_{ct} \delta_{ct} = 123 - 36 \cdot 0,8 = 123 - 28,8 = 94,2 \text{ см}^2.$$

Отсюда требуется толщина одного пояса

$$\delta_p = \frac{A_p}{2 \cdot 8} = \frac{94,2}{2 \cdot 36} = 1,31 \text{ см.}$$

Округлая, назначаем $\delta_p = 1,4$ см = 14 мм.

Проверка сечения

Фактическая площадь

$$A_\varphi = A_{ct} + 2A_p = h_{ct} \delta_{ct} + 2\delta_p \ell_p = 28,8 + 2 \cdot 36 \cdot 1,4 = 28,8 + 101 \approx 130 \text{ см}^2$$

Минимальный момент инерции

$$I_{min} = I_y \approx 2I_p = 2 \frac{\delta_p \cdot \delta^3}{12} = 2 \frac{1,4 \cdot 3,6^3}{12} = 10900 \text{ см}^4.$$

Моментом инерции площади сечения стекки относительно оси правнебрегаем ввиду его малости.

Минимальный радиус инерции

$$i_{min} = \sqrt{\frac{I_y}{A_\varphi}} = \sqrt{\frac{10900}{130}} = 9,16 \text{ см.}$$

По формулам

$$i_x = \frac{\ell_x}{\lambda_0}; \quad i_y = \frac{\ell_y}{\lambda_0},$$

где i_x, i_y - требуемые радиусы инерции;

ℓ_x, ℓ_y - расчетные (приведенные) длины стержня в главных плоскостях;

λ_0 - гибкость стержня, соответствующая принятому значению φ_0 (табл.3.7),

находим

$$i_x = i_y = \frac{\ell_p}{\lambda_0} = \frac{630}{62} = 10,2 \text{ см} = 102 \text{ мм.}$$

Требуемая высота сечения (рис.3.12)

$$h = \frac{i_x}{\delta_x} = \frac{10,2}{0,24} \text{ см} = 237 \text{ мм.}$$

Для удобства автоматической приварки поясов к стенке принимаем
 $b = h_{cr} = 360$ мм (рис. 3.12).

1-1

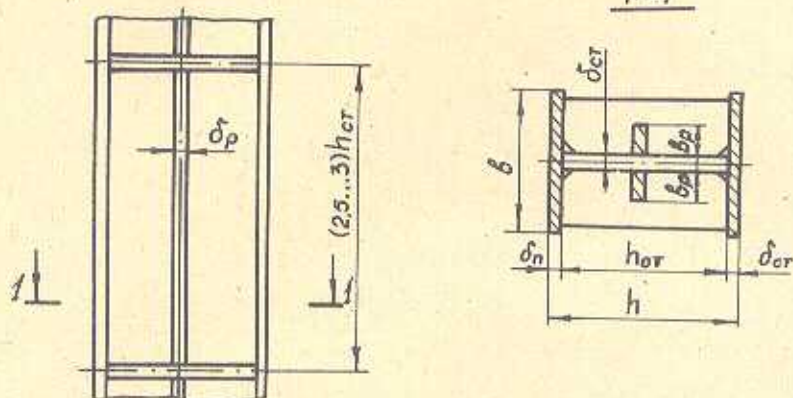


Рис. 3.12. Расположение ребер жесткости

Наибольшая гибкость

$$\lambda_{max} = \frac{\ell_p}{l_{min}} = \frac{630}{9,16} \approx 69 < \lambda_{pred} = 120.$$

Условная гибкость

$$\bar{\lambda} = \lambda \sqrt{\frac{R}{E}} = 69 \cdot \sqrt{\frac{230}{206 \cdot 10^3}} = \frac{69}{29,9} = 2,3.$$

Коэффициент продольного изгиба

$$Y_1 = 1 - (0,073 - 5,53 \frac{R}{E}) \bar{\lambda} \sqrt{\bar{\lambda}} = 1 - (0,073 - 5,53 \frac{230}{206 \cdot 10^3}) \cdot$$

$$2,3 \cdot \sqrt{2,3} = 0,767.$$

Значения Y_0 и Y_1 отличаются незначительно, поэтому переходим непосредственно к проверке сечения:

$$\sigma = \frac{N}{Y_1 A_\phi} = \frac{2260 \cdot 10^3}{0,767 \cdot 130 \cdot 10^{-4}} = 227 \cdot 10^6 \text{ Па} = 227 \text{ МПа} < R = 230 \text{ МПа}.$$

Недонаружение.

$$\Delta \sigma = \frac{R - \sigma}{R} \cdot 100 = \frac{230 - 227}{230} \cdot 100\% = 1,3\% < 5\%,$$

что указывает на отсутствие излишков материала.

Проверка устойчивости стенки и поясов колонны

При $\bar{\lambda} > 0,8$ должно выполняться условие

$$\frac{h_{cr}}{\delta_{cr}} \leq (0,36 + 0,8\bar{\lambda}) \cdot \sqrt{\frac{E}{R}} \leq 2,9 \sqrt{\frac{E}{R}}.$$

В данном случае

$$\frac{h_{cr}}{\delta_{cr}} = \frac{36}{0,8} = 45 < (0,36 + 0,8\bar{\lambda}) \sqrt{\frac{E}{R}} = (0,36 + 0,8 \cdot 2,3) \cdot 29,9 \approx 66 < 2,9 \sqrt{\frac{E}{R}} = 2,9 \cdot 29,9 \approx 87.$$

Следовательно, укрепление стенки продольным ребром жесткости не требуется. $\frac{h_{cr}}{\delta_{cr}} \geq 2,2 \sqrt{\frac{E}{R}}$

Если $\frac{h_{cr}}{\delta_{cr}} \geq 2,2 \sqrt{\frac{E}{R}}$, то независимо от продольного ребра должны ставиться поперечные ребра жесткости.

Так как отношение $\frac{h_{cr}}{\delta_{cr}} = 45 < 2,2 \sqrt{\frac{E}{R}} = 2,2 \cdot 29,9 \approx 66$, то в поперечных ребрах нет необходимости.

Устойчивость поясов также обеспечена, поскольку отношение

$$\frac{b_{pl} - \delta_{cr}}{2\delta_{pl}} = \frac{36 - 0,8}{2 \cdot 14} = 12,6$$

не превышает значения

$$\frac{0,5b_{pl}}{\delta_{cr}} = (0,36 + 0,1\bar{\lambda}) \sqrt{\frac{E}{R}},$$

$$\frac{0,5b_{pl}}{\delta_{cr}} = (0,36 + 0,1 \cdot 2,3) 29,9 = 17,6.$$

Окончательный вариант сечения представлен на рис.3.13.

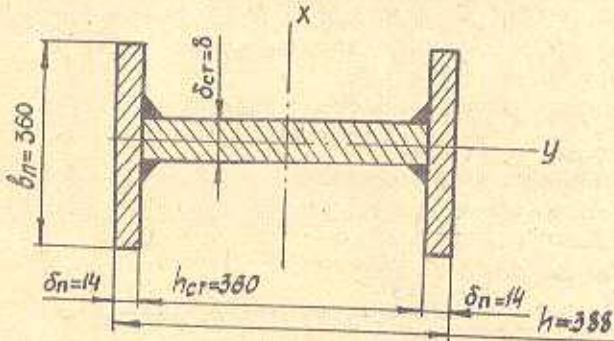


Рис.3.13. Принятое поперечное сечение колонны

Выбор конструкции базы

Материалы фундамента - бетон марки М100, элементов базы - сталь ВСтЗПоб. Сварка ручная электродами типа З42.

В соответствии с принятой расчетной схемой колонны предусматриваем жесткую базу (рис.3.14).

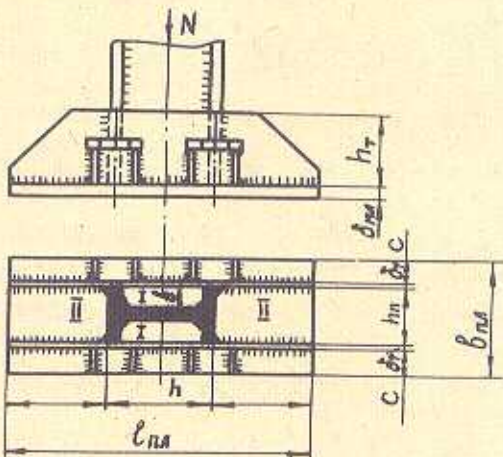


Рис.3.14.Схема базы колонны

Расчетная сила давления на фундамент с учетом веса колонны

$$N = F + \rho \cdot A_L \cdot gH \gamma_f = 2260 + 7,85 \cdot 0,013 \cdot 9,81 \cdot 1,05 = 2270 \text{ кН},$$

где ρ - плотность стали ($\rho = 7,85 \text{ т/м}^3$); g - ускорение свободного падения ($g = 9,81 \text{ м/с}^2$); γ_f - коэффициент надежности по нагрузке от веса колонны ($\gamma_f = 1,05$).

Расчетное сопротивление смятию бетона фундамента

$$R_{cm}^\delta = \frac{\delta}{\delta} R_C = 1,2 \cdot 4,5 \text{ МПа} = 5,4 \text{ МПа},$$

где $\frac{\delta}{\delta}$ - коэффициент, задаваемый в пределах 1,2...1,5; R_C - расчетное сопротивление бетона осевому сжатию, равное 4,5;7 и 9 МПа для марок М100, М150 и М200.

Требуемая площадь опорной плиты

$$A_{pl} \geq \frac{N}{R_{cm}^\delta} = \frac{2270 \cdot 10^3}{5,4 \cdot 10^6} = 0,42 \text{ м}^2 = 4200 \text{ см}^2.$$

Конструируем траверсу из листов толщиной $\delta_T = 10 \text{ мм}$ с выпуском за них плиты на расстояние $C = 60 \text{ мм}$. Тогда ширина

$$b_{pl} = b_A + 2(\delta_T + c) = 36 + 2(1 + 6) = 50 \text{ см},$$

что удовлетворяет ГОСТ 82-70* на широкополосную универсальную сталь.

Требуемая длина плиты

$$l_{pl} \geq \frac{A_{pl}}{\sigma_{pl}} = \frac{4200}{50} \text{ см} = 84 \text{ см.}$$

Округляя, принимаем $l_{pl} = 90$ см. Следовательно, выплет листов трапециевидных

$$\alpha_A = \frac{l_{pl} - h}{2} = \frac{90 - 38,8}{2} = 25,6 \text{ см.}$$

Свободное напряжение в бетоне фундамента

$$\sigma^\delta = q = \frac{N}{l_{pl} \cdot b_{pl}} = \frac{2240 \cdot 10^3}{0,9 \cdot 0,5} = 5,04 \cdot 10^6 \text{ Па} = 5,04 \text{ МПа.}$$

На участках, опаргих по четырем сторонам (внутри сечения стержня колонны),

$$b = \frac{b_{pl} - \delta_{ct}}{2} = \frac{36 - 0,8}{2} = 17,6 \text{ см};$$

$$\frac{h_{ct}}{b} = \frac{36}{17,6} = 2,04 > 2.$$

$\alpha = 0,125$ (табл. 3.8), т.е. фактически плита работает как балка, свободно лежащая на двух опорах пролетом b .

Таблица 3.8
Коэффициент α для расчета плит, опаргих по четырем сторонам

h_{ct}/b	1	1,1	1,2	1,3	1,4	1,5
α	0,048	0,055	0,063	0,069	0,075	0,082

продолжение табл. 3.8

h_{ct}/b	1,6	1,7	1,8	1,9	2,0	2,0
α	0,086	0,091	0,094	0,098	0,100	0,125

Если опорная плита закреплена по четырем сторонам (рис.3.14, участок I), то наибольший изгибающий момент в полосе шириной 1 см

$$M_I = d_1 q \cdot b^2 = 0,125 \cdot 5,04 \cdot 10^6 \cdot 17,6^2 \cdot 10^{-4} = 19515 \text{ Н}\cdot\text{м},$$

где q - давление на 1 см² плиты, равное среднему напряжению в бетоне фундамента под ней.

На участке II (рис.3.14), опротом по трем сторонам (между листами трансверсы и полкой колонны),

$$\frac{a_1}{b_p} = \frac{25,6}{36} = 0,71.$$

Тогда $d_1 = 0,089$ (табл.3.9).

Таблица 3.9
Коэффициент d_1 для расчета плит, опротых по трем
сторонам

$\frac{a_1}{b_p}$	0,5	0,6	0,7	0,8	0,9	1,0	1,2	1,4	2	2
d_1	0,060	0,074	0,088	0,097	0,107	0,112	0,120	0,126	0,132	0,133

В этом случае изгибающий момент

$$M_{II} = d_1 q b_p^2 = 0,089 \cdot 5,04 \cdot 36^2 \cdot 10^2 = 58130 \text{ Н}\cdot\text{м}.$$

Вследствие большой разницы в значениях изгибающих моментов M_I и M_{II} предусматриваем укрепление плиты ребром жесткости.

Необходимая высота трансверсы при четырех сварных швах толщиной $K = \delta_T = 10$ мм, прикрепляющих листы трансверсы к подкам,

$$h_T = \frac{\sum \ell_w}{4} + \delta_T = \frac{N}{4,07 \cdot K} + \delta_T =$$

$$\frac{2270 \cdot 10^3}{2,8 \cdot 0,01 \cdot 180 \cdot 10^6} + 0,01 = 0,46 \text{ м} = 46 \text{ см},$$

где расчетное сопротивление соединения срезу $R_{cp}' = 180 \text{ МН}$.
Скруглая, принимаем $h_T = 50 \text{ см}$ и производим проверку прочности траперс на изгиб и срез.

Нагрузка на единицу длины одного листа траперса

$$q_T = q \left(\frac{\delta}{2} + \delta_T + c \right) = 5,04 \cdot 10^6 \left(\frac{17,6}{2} + 1 + 6 \right) \cdot 10^{-2} = \\ = 494 \cdot 10^3 \text{ Н/м} = 494 \text{ кН/м.}$$

Изгибающий момент в месте приварки к колонне

$$M_T = \frac{q_T a_1^2}{2} = \frac{494 \cdot 25,6^2 \cdot 10^{-4}}{2} = \text{кН}\cdot\text{м.}$$

Поперечная сила

$$Q_T = q_T \cdot a_1 = 494 \cdot 25,6 \cdot 10^{-2} = 203 \text{ кН.}$$

Момент сопротивления сечения листа

$$W_T = \frac{\delta_T \cdot h_T^2}{6} = \frac{1 \cdot 50^2}{6} = 417 \text{ см}^3.$$

Нормальное напряжение

$$\sigma_T = \frac{M_T}{W_T} = \frac{26 \cdot 10^3}{417 \cdot 10^{-6}} = 62,4 \cdot 10^6 \text{ Па} = \\ = 62,4 \text{ МПа} \ll R = 225 \text{ МПа.}$$

Касательное напряжение

$$\tau = \frac{Q_T}{\delta_T \cdot h_T} = \frac{203 \cdot 10^3}{1 \cdot 50 \cdot 10^{-4}} = 40,6 \cdot 10^6 \text{ Па} = \\ = 40,6 \text{ МПа} \ll R_{cp} = 130 \text{ МПа,}$$

т.е. прочность траперса обеспечана с большим запасом. Расчетное сопротивление $R = 225 \text{ МПа}$ принято, исходя из толщины листов в траперсе, а значение $R_{cp} = 0,58$.

Расчет ребер жесткости, примыкающих к полкам колонны, производим аналогично расчету листов траперса:

$$q_P = q \delta_1 = 5,04 \cdot 14,5 \cdot 10^4 = 882 \cdot 10^3 \text{ Н/м} = 882 \text{ кН/м;}$$

$$M_P = \frac{M_T \cdot q_P}{q_T} = \frac{26 \cdot 882}{494} = 28,9 \text{ кН}\cdot\text{м;}$$

$$Q_P = \frac{Q_T \cdot g_P}{g_T} = \frac{203 \cdot 882}{794} \text{ кН} = 225 \text{ кН.}$$

Требуемый момент сопротивления сечения ребра $W_P \geq \frac{M_P}{R}$ или
 $W_P = \frac{\delta_P \cdot h_P^2}{6}$. Отсюда требуемая высота ребра

$$h_P \geq \sqrt{\frac{6M_P}{\delta_P R}} = \sqrt{\frac{6 \cdot 28,9 \cdot 10^3}{0,01 \cdot 225 \cdot 10^6}} = 0,278 \text{ м} = 27,8 \text{ см.}$$

Округляя, принимаем $h_P = 30$ см.

Касательное напряжение

$$\tau_P = \frac{Q_P}{\delta_P h_P} = \frac{225 \cdot 10^3}{1 \cdot 30 \cdot 10^{-4}} = 75 \cdot 10^6 \text{ Па} = 75 \text{ МПа} < R_{cp},$$

т.е. прочность ребра обеспечена.

При двух угловых швах толщиной $K = \delta_P = 10$ мм получаем

$$\begin{aligned} \tau_w &= \sqrt{\left[\frac{6 \cdot M_P}{0,7 \cdot K \cdot 2(h_P - \delta)^2} \right]^2 + \left[\frac{Q_P}{0,7 \cdot K \cdot 2(h_P - \delta)} \right]^2} = \\ &= \sqrt{\left[\frac{6 \cdot 28,9 \cdot 10^3}{1,4 \cdot (30-1) \cdot 10^{-6}} \right]^2 + \left[\frac{225 \cdot 10^3}{1,4 \cdot (30-1) \cdot 10^{-4}} \right]^2} = \\ &= 157 \cdot 10^6 \text{ Па} = 157 \text{ МПа} < R'_{cp} = 180 \text{ МПа,} \end{aligned}$$

т.е. прочность швов также обеспечена.

Необходимая толщина швов, прикрепляющих листы траверсы,

$$\begin{aligned} K &\geq \frac{N_T}{0,7 \sum e_w \cdot R_{cp}} \approx \frac{g_T \cdot l_{pa}}{0,7(l_{pa} + 2a_t)R_{cp}} = \\ &= \frac{794 \cdot 10^3 \cdot 0,9}{0,7(0,9 + 2 \cdot 0,256) \cdot 180 \cdot 10^6} = 4,02 \cdot 10^{-3} \text{ м} = 4,02 \text{ мм;} \end{aligned}$$

ребра жесткости

$$K \geq \frac{Q_P}{0,7 \cdot 2a_t R_{cp}} = \frac{225 \cdot 10^3}{1,4 \cdot 0,256 \cdot 180 \cdot 10^6} = 3,49 \cdot 10^{-3} \text{ м} = 3,49 \text{ мм.}$$

Исходя из толщины плиты $\delta_{pl} = 25$ мм, конструктивно принимаем $K = 8$ мм, что вполне компенсирует несколько завышенную длину швов (расчет произведен по фактической длине вместо расчетной, т.е. без учета возможных непроваров и кратеров). Такой же толщины назначаем и швы, прикрепляющие к плите пояса стенку стержня колонны, хотя они воспринимают еще меньшее давление.

Пример 2. Подобрать сечение сквозной центрально-сжатой колонны из стали ВСт3кп2-1, нагруженной продольной силой от постоянных нагрузок 300 кН и от кратковременных нагрузок 2400 кН. Отметка верха колонны - 10 м, примыкания балок сбоку; высота главной балки - 1,8 м, второстепенной - 0,45 м.

Определение расчетных усилий
Принимаем коэффициенты надежности по нагрузкам для постоянной нагрузки $\gamma_{p1} = 1,1$, для кратковременной $\gamma_{p2} = 1,2$.
Тогда

$$N = N_p \gamma_{p1} + N_q \gamma_{p2} = 300 \cdot 1,1 + 2400 \cdot 1,2 = 3210 \text{ кН}.$$

Принимаем сквозное сечение, соединение петлей - планками; база с распределяющей конструкцией (без фрезерованного торца колонны); величина заглубления - 0,8 м.

Определение расчетной длины колонны по формуле $\ell_0 = M\ell$,

где M - коэффициент расчетной длины; ℓ - длина колонны, м.

Принимаем закрепления нижнего конца колонны жестким (с некоторой податливостью); главная балка жестко (с некоторой податливостью) закрепляет верхний конец колонны, а второстепенная - шарнирно. Поэтому коэффициента приведения длины относительно центральных осей $M_x = 0,7$; $M_y = 0,8$.

Тогда

$$\ell_{0x} = M_x \ell_x = 0,7 (10 - 1,8 + 0,8) = 6,3 \text{ м};$$

$$\ell_{0y} = M_y \ell_y = 0,8 (10 - 0,45 + 0,8) = 8,28 \text{ м}.$$

Задаемся значением коэффициента продольного изгиба φ и определяем требуемую площадь ветви сквозной колонны:

$$A_{tr} = \frac{N}{2\varphi R_y} = \frac{3210 \cdot 10^3}{2 \cdot 0,89 \cdot 210} = 8580 \text{ мм}^2 = 858 \text{ см}^2.$$

Согласно сортаменту (ГОСТ 8239-72) принимаем сечение колонны из двух двутавров № 45 ($A = 84,7 \text{ см}^2$; $I_x = 27696 \text{ см}^4$; $\gamma_y = 18,1 \text{ см}$; $I_y = 808 \text{ см}^4$; $\gamma_y = 3,09 \text{ см}$; $B_d = 16 \text{ см}$).

Проверим устойчивость двутавра относительно материальной оси $X-X$:

$$\lambda_x = \frac{630}{18,1} = 34,8 \quad \text{и} \quad \varphi_x = 0,925;$$

$$\sigma_x = \frac{N}{\varphi_x \cdot 2A_8} = \frac{3210 \cdot 10^3}{0,925 \cdot 2 \cdot 84,7} = 204,7 \text{ МПа} < 210 \text{ МПа}.$$

Недонаружение $\frac{210 - 204,7}{210} \cdot 100 = 2,5\%$, что допустимо.

Определим расстояния между ветвями сквозной колонны, исходя из условий равнотойчивости, т.е. $\lambda_x = \lambda_{пру}$.

Рассмотрим два варианта соединения ветвей: планками и решетками.

1. Соединение ветвей планками

Принимаем гибкость отдельной ветви $\lambda_B = 25,3$. Тогда

$$\lambda_y = \sqrt{\lambda_{пру,y}^2 - \lambda_B^2} = \sqrt{\lambda_x^2 - \lambda_B^2} = \sqrt{34,8^2 - 25,3^2} = 23,85;$$

$$B = \frac{\ell_{oy}}{d_2 \lambda_y} = \frac{8280}{0,52 \cdot 23,85} = 664 \text{ мм},$$

где d_2 - коэффициент.

Принимаем $B = 700 \text{ мм}$.

Просвет между ветвями $B_1 = B - B_{п} = 700 - 160 = 540 \text{ мм}$.

Принимаем размеры планки:

$$B_{пл} = B_1 + 80 = 540 + 80 = 620 \text{ мм}; \quad \ell_{пл} = 400 \text{ мм}.$$

Расстояние между планками

$$\ell_B = \lambda_B \cdot t_{min} = 25,3 \cdot 3,09 = 78,8 \text{ мм.}$$

Скругляем ℓ_B до 780 мм.

Расстояние по центрам планок

$$l = \ell_B + d_{пл} = 780 + 400 = 1180 \text{ мм.}$$

Перерезывающая сила и момент, действующие на одну планку:

$$T_{пл} = \frac{Q_p \cdot l}{c} = \frac{Q_{усл} \cdot l}{2c} = \frac{200 \cdot 2 \cdot 84,4 \cdot 118}{2 \cdot 70} = 28,6 \text{ кН;}$$

$$M_{пл} = \frac{Q_p \cdot l}{2} = \frac{200 \cdot 84,4 \cdot 118}{2 \cdot 2} = 99,950 \text{ Н}\cdot\text{м},$$

где Q_p - условная поперечная сила, приходящаяся на систему планок, расположенных в одной плоскости; l - расстояние между центрами планок; c - расстояние между осями ветвей; $Q_{усл.}$ - условная поперечная сила, принимаемая постоянной по всей длине стержня (табл. 3.10).

Таблица 3.10

Значения условной поперечной силы

Марка стали	ВСтЗпс ВСтЗсп	09Г2С 09Г2	09Г2С 15ХСНД	15ХСНД 15Г2СФ	15Г2СМФ 14ГСМФ	15ХГ2С МФ
$Q_{усл.}$	200	300	400	500	600	700

Примечание. При наличии нескольких плоскостей планок или решеток поперечная сила $Q_{усл.}$ распределяется поровну между ними. Планки прикрепляют к ветвям колонн угловыми швами, прочность которых при $K_w = f_{пл} = 8$ мм будет меньше прочности планки, поэтому достаточно проверить прочность сварных швов (в расчете учитывая только вертикальные участки шва).

Площадь сечения и момент сопротивления сварочного шва:

$$A_{шв} = \beta K_w d_{пл} = 0,7 \cdot 8 \cdot 400 = 2240 \text{ м}^2;$$

$$W_{шв} = \frac{\beta K_w d_{пл}^2}{6} = \frac{0,7 \cdot 8 \cdot 400^2}{6} = 149300 \text{ мм}^3.$$

Тогда напряжения в шве

$$\sigma_w = \frac{M_{pl}}{W_w} = \frac{9995}{149300} = 67 \text{ МПа};$$

$$\tau_w = \frac{T_{pl}}{A_w} = \frac{28,6}{22400} = 12,8 \text{ МПа}.$$

Равнодействующее напряжение

$$\sigma_{\text{равн}} = \sqrt{\sigma_w^2 + \tau_w^2} = \sqrt{67^2 + 12,8^2} = 67,5 \text{ МПа} < R_{wy} = 150 \text{ МПа}.$$

Момент инерции относительно оси $Y-Y$

$$I_y = 2(I_{oy} + A \frac{r_o^2}{2^2}) = 2 \cdot (808 + 84,4 \frac{70^2}{4}) = 209200 \text{ см}^4.$$

Радиус инерции стержня

$$r_y = \sqrt{\frac{I_y}{A}} = \sqrt{\frac{209200}{169,4}} = \sqrt{1235} = 35,2 \text{ см}.$$

Гибкость стержня

$$\lambda_y = \frac{\ell_{oy}}{r_y} = \frac{828}{35,2} = 23,5.$$

Рассчитываем приведенную гибкость:

$$\lambda_{pr,y} = \sqrt{\lambda_y^2 + \lambda_\theta^2} = \sqrt{23,5^2 + 25,3^2} = 34,6.$$

Проверяем устойчивость колонны относительно свободной оси $Y-Y$:

$$\sigma_y = \frac{N}{\varphi_y \cdot A} = \frac{3210000}{0,925 \cdot 16940} = 204,60 \text{ МПа} < R_y = 210 \text{ МПа}.$$

Коэффициент продольного изгиба (рис.3.?)

$$\varphi_y = 0,925.$$

Неденапряжение

$$\frac{210 - 204,6}{210} \cdot 100 = 2,57\%,$$

что допустимо.

2. Соединение ветвей решетками

Принимаем треугольную решетку из равнобоких уголков 45x4 ($F = 3,48 \text{ см}^2$; $\gamma_x = 1,38 \text{ см}$; $\gamma_y = 0,89 \text{ см}$) с углом наклона 35° . Расстояние между узлами решетки $\ell = 2 \cdot b \cdot \operatorname{tg} 35^\circ = 2 \cdot 700 \cdot 0,7 = 980 \text{ мм}$, а гибкость ветви

$$\lambda_p = \frac{98}{3,09} = 31,7 < \lambda_x = 36.$$

Усилие в раскосе

$$N_p = \frac{Q_{\text{числ}}}{2 \cdot \cos 35^\circ} = \frac{200 \cdot 2 \cdot 84,7}{2 \cdot 0,818} = 20710 \text{ Н.}$$

Проверяют устойчивость раскоса:

$$\lambda_{\max} = \frac{B}{\cos 35^\circ \gamma_0} = \frac{400}{0,818 \cdot 0,9} = 96.$$

$$\sigma_{y_0} = \frac{20710}{348 \cdot 0,611} = 94,4 \text{ МПа} < R_y f_c = 210 \cdot 0,75 = 157,5 \text{ МПа},$$

где $\gamma_{y_0} = 0,611$ (табл. 3.7).

Определяем необходимую длину швов для прикрепления раскосов, приняв $K_w = 0,4 \text{ см}$; $f_c = 0,75 \text{ см}$ и $\beta = 0,7$ (для ручной сварки):

$$\ell_w^{ob} = \frac{\alpha_f}{0,7 \cdot K_w \cdot f_c \cdot R_w} = \frac{0,7 \cdot 20710}{0,7 \cdot 4 \cdot 0,75 \cdot 15000} = 46 \text{ мм};$$

$$\ell_w'' = \frac{0,3 N_p}{0,7 \cdot K_w \cdot f_c \cdot K_f} = \frac{0,3 \cdot 20710}{0,7 \cdot 4 \cdot 0,75 \cdot 15000} = 19,7 \text{ мм}.$$

Принимаем длину швов:

$$\ell_w^{ob} = 4,6 + 10 = 56 \approx 60 \text{ мм},$$

$$\ell_w'' = 19,7 + 10 = 29,7 \text{ мм}.$$

Минимальный шов равен 40 мм.

Проверяем устойчивость колонны относительно свободной оси $y-y$, для которой $\lambda_y = 23,53$ и $K = 38^0$ (при $\delta = 35^0$):

$$\lambda_{\text{пр.}y} = \sqrt{\lambda_y^2 + K \frac{A}{A_P}} = 23,53^2 + 38 \frac{8470}{348} = 38,4.$$

С учетом $\varphi_y = 0,911$ (табл.3.7) нормальные напряжения

$$\sigma_y = \frac{3210000}{0,911 \cdot 2 \cdot 8470} = 208 \text{ МПа} \leq R_y = 210 \text{ МПа},$$

Выбор конструкции базы

Принимаем фундамент из бетона марки 100, для которого $R_{\phi} = 5,2 \text{ МПа}$.

Требуемая площадь спиральной плиты

$$A_m = \frac{N}{R_\phi} = \frac{32100}{52} = 617 \cdot 10^3 \text{ мм}^2.$$

Ширина плиты

$$B_{\text{пл}} = 450 + 2012 \cdot 6,5 = 600 \text{ мм}.$$

Длина плиты

$$L_{\text{пл}} = \frac{A_m}{B_{\text{пл}}} = \frac{617 \cdot 10^3}{600} = 1028 \text{ мм}.$$

Принимаем длину плиты $L_{\text{пл}} = 1050 \text{ мм}$.

Тогда напряжения под плитой

$$\sigma_\phi = \frac{N}{B_{\text{пл}} \cdot L_{\text{пл}}} = \frac{3210}{600 \cdot 1050} = 5,1 \text{ МПа}.$$

Принимаем конструкцию базы, представленную на рис.3.14.

Определяем высоту траверсы по величине сварных швов, прикрепляющих стержни колонны к траверсе, принимая количество швов равным 8, а высоту - 8 мм:

$$c_w = \frac{N}{8 \beta K_w R_w} = \frac{3210}{8 \cdot 0,7 \cdot 8 \cdot 150} = 478 \text{ м}.$$

Принимаем высоту траверсы 500 мм, а толщину - 10 мм.

Производим проверку траверсы на прочность ($\sigma_s = 5,1 \text{ МПа}$) на консольном участке:

$$M = \frac{15 \cdot 9,5^2 \cdot 51}{2} = 34500 \cdot \text{кгс} \cdot \text{см} = 3450 \text{ Н} \cdot \text{м};$$

$$W = \frac{\delta_{tr} \cdot h_{tr}^2}{6} . \quad \frac{1 \cdot 500^2}{6} = 417 \text{ см}^3 = 41,7 \text{ м}^3;$$

$$\sigma = \frac{3450}{41,7} = 83 \text{ МПа} < R_y = 210 \text{ МПа};$$

на среднем участке:

$$M = \frac{q \ell^2}{12} = \frac{30 \cdot 51 \cdot 54^2}{12} = 3720000 \text{ кгс} \cdot \text{см} = 37200 \text{ Н} \cdot \text{м};$$

$$W = 414 \text{ см}^3; \sigma = \frac{372000}{414} = 89,2 \text{ МПа} < R = 210 \text{ МПа}.$$

Определяем прочность сварных швов, прикрепляющих консоль к стержню колонны (высота консоли и диафрагмы принята равной высоте транкеры, т.е. 500 мм):

$$M = \frac{15 \cdot 51 \cdot 17,5^2}{2} = 117000 \text{ кгс} \cdot \text{см} = 11700 \text{ Н} \cdot \text{м};$$

$$Q = 15 \cdot 51 \cdot 17,5 = 13400 \text{ кгс} = 134 \cdot 10^3 \text{ Н};$$

$$W_W = 2 \cdot \frac{\beta K_W \cdot \ell_W^2}{6} = 2 \cdot \frac{0,7 \cdot 8 \cdot 490^2}{6} = 450 \text{ см}^3 = 4500 \text{ мм}^3;$$

$$A_W = 2 \beta K_W \ell_W = 2 \cdot 0,7 \cdot 8 \cdot 490 = 54,9 \text{ см}^2;$$

$$\sigma_W = \frac{M}{W_W} = \frac{11700 \cdot 10^3}{4500} = 26 \text{ МПа};$$

$$\tau_W = \frac{Q}{A_W} = \frac{134 \cdot 10^3}{54,9} = 24,4 \text{ МПа};$$

$$\sigma_{\text{равн}} = \sqrt{\sigma_W^2 + \tau_W^2} = \sqrt{26^2 + 24,4^2} = 36 \text{ МПа} < R_{wg} = 150 \text{ МПа}.$$

Определяем прочность сварных швов, прикрепляющих диафрагму:

$$M = \frac{q \ell g}{12} = \frac{350 \cdot 510 \cdot 450^2}{12} = 30120 \text{ Н} \cdot \text{м};$$

$$Q = \frac{q \ell g}{2} = 350 \cdot 51 \cdot 225 = 401500 \text{ Н.}$$

W_W и A_W принимаем такими же, как для консольи: $W_W = 4500 \text{ мм}^3$;
 $A_W = 5490 \text{ мм}^2$.

Тогда

$$\sigma_w = \frac{M}{W_W} = \frac{30120}{4500} = 67 \text{ МПа};$$

$$\tau_w = \frac{Q}{A_W} = \frac{401500}{5490} = 73 \text{ МПа},$$

$$\sigma_{\text{рабн}} = \sqrt{670^2 + 730^2} = 99 \text{ МПа} < R_y = 150 \text{ МПа.}$$

3.3. Листовые конструкции

Последовательность расчета и проектирования сварных листовых конструкций:

- определение условий эксплуатации;
- определение коэффициентов условий работы и коэффициентов перегрузки;
- расчет толщины поясов или стенок труб;
- определение изгибающего момента в месте сопряжения элементов конструкций;
- расчет сварных швов;
- пронерка элементов конструкции на устойчивость;
- расчет на прочность и устойчивость.

Пример I

Расчет стенки вертикального цилиндрического резервуара объемом 700 м³ для хранения нефтепродуктов объемной массой 0,9 г/м³. Диаметр резервуара $D = 10,43 \text{ м}$, высота $h = 8,85 \text{ м}$. Кровля шитовая. Избыточное давление паров $P = 0,0025 \text{ МПа}$. Материал - сталь СтЗ по 4МГУ 5232-55.

Коэффициент устойчивости работы стенки $\gamma_c = 0,08$. При наличии жидкости коэффициент перегрузки $\gamma_{n_1} = 1,1$, паров - $\gamma_{n_2} = 1,2$. Коэффициент прочности сварочного шва $\varphi_w = 0,95$ (стенка изготовлена

вается методом рулонирования). Нормативные давления, МПа: от кровли - 4,14, от снега - 5,0, от термоизоляции - 2,5; соответствующие коэффициенты перегрузки: $\gamma_{p_1} = 1,1$; $\gamma_{p_2} = 1,4$; $\gamma_{p_3} = 1,2$.

Расчет толщины поясов

Исходя из оптимальных размеров стальных листов для резервуаров малой емкости, разбиваем стенку по высоте на 6 поясов. Толщина нижнего пояса

$$\delta_{n,p} = \frac{(\gamma_{p_1} h \cdot \gamma + \gamma_{p_2} P) r}{\delta_c \cdot 0,95 R_{wp}} = \frac{(1,1 \cdot 885 \cdot 0,9 \cdot 10^{-3} + 1,2 \cdot 2,5 \cdot 10^4) \cdot 521,5}{0,8 \cdot 0,95 \cdot 2,1 \cdot 10^{-3}} = 0,274 \text{ м} = 0,027 \text{ м},$$

где h - расстояние от высшего уровня жидкости до днища (стенка постоянной толщины) или до расчетного уровня пояса (стенка переменной толщины), который принимается на 30 см выше нижней кромки пояса; r - радиус срединной поверхности стенки или, с некоторым допущением, внутренний радиус (поскольку толщина пояса в момент расчета неизвестна); расчетное сопротивление при автоматической сварке $R_{wp} = R_p$, при ручной $R_{wp} = 0,85$; γ_{p_1} и γ_{p_2} - коэффициенты перегрузки; γ - коэффициент условий работы стенки резервуара.

Принимаем толщину нижнего и всех других поясов 4 мм. Проверяем сварные швы, прикрепляющие стенку к плоскому днищу, на усилия от краевого эффекта.

Изгибющий момент в месте сопряжения стенки с днищем

$$M \approx 0,1 \gamma_{p_1} \gamma h r \delta = 0,1 \cdot 1,1 \cdot 0,9 \cdot 10^{-3} \cdot 885 \cdot 251,5 \cdot 0,4 = 184 \text{ кгс} \cdot \text{см} = 1840 \text{ Н} \cdot \text{м}.$$

Напряжения в сварных швах с катетом $k_w = 5$ мм

$$\sigma_w = \frac{M}{W_w} = \frac{18,4 \cdot 10^3}{5} = 36,8 \text{ МПа},$$

где W_w - момент сопротивления двух угловых швов.

Расчет на устойчивость стенки

Стенку рассматриваем как цилиндрическую оболочку с концами, закрепленными от перемещения, нагруженную давлением вдоль образующих и радиальным сжимающим давлением от вакуума.

Основные напряжения от давления кровли, термоизоляции, снега и вакуума

$$\sigma_1 = \frac{(11 \cdot 4,14 + 1,4 \cdot 5 - 1,2 \cdot 2,5 + 1,2 \cdot 2,5) \cdot 521,5}{2 \cdot 0,4} = 1,16 \text{ МПа.}$$

Кольцевые напряжения от вакуума

$$\sigma_2 = \frac{1,2 \cdot 2,5 \cdot 521,5}{0,4} = 0,39 \text{ МПа.}$$

Критические напряжения при осевом сжатии определяем по формуле

$$\sigma_{1kp} = C \frac{F\delta}{\tau},$$

где C — коэффициент (табл. 3. II).

Таблица 3. II

Значение коэффициента C

τ/δ	50	100	2000	300	400	600	800	1000	1500	2500	
C	0,30	0,22		0,18	0,16	0,14	0,11	0,09	0,08	0,07	0,06

При $\tau/\delta = 521,5/0,4 = 1303$ $C = 0,074$ и

$$\sigma_{1kp} = C \frac{E\delta}{\tau} = 0,074 \frac{21 \cdot 10^6 \cdot 0,4}{521,5} = 11,95 \text{ МПа.}$$

Критические напряжения в цилиндрической оболочке:

при $0,5 \leq \frac{\ell}{\delta} < 10$

$$\sigma_{2kp} = 0,55 E \left(\frac{\delta}{\ell} \right) \left(\frac{\delta}{\tau} \right)^{3/2};$$

при $\frac{\ell}{\delta} \geq 20$

$$\sigma_{2kp} = 0,14 E \left(\frac{\delta}{\tau} \right)^2.$$

Так как для рассматриваемого примера $\frac{\ell}{\delta} = \frac{885}{521,5} = 1,7 < 10$,

$$\text{то } \sigma_{2kp} = 0,55 E \sqrt{\frac{\delta}{\tau}} = \frac{0,55 \cdot 21 \cdot 10^6 \cdot 0,4}{885} \sqrt{\frac{0,4}{521,5}} = 1,44 \text{ МПа.}$$

Устойчивость стенки обеспечена, т.к.

$$\frac{N}{N_{kpr}} + \frac{\sigma_2}{\sigma_{2kpr}} = \frac{11,6}{119,5} + \frac{3,9}{14,4} = 0,37 < m,$$

где N - расчетное сжимающее усилие вдоль оси; N_{kpr} - критическое усилие.

Пример 2

Расчет двухопорного цилиндрического резервуара с коническим дном объемом 100 м³ для хранения жидкости с удельным весом 0,9 т/м³ при избыточном давлении 0,7 кгс/см² и вакууме 0,1 кгс/см². Материал - сталь ВСтЗсп - 5.

Исходя из железнодорожного габарита, диаметр резервуара принимаем равным 3,25 м. Длину корпуса резервуара находим по формуле

$$V = \pi r^2 l + K_1 r^3,$$

где K_1 - коэффициент для конических днищ; $K_1 = 0,586$,

$$l = \frac{100 - 0,586 \cdot 1,625^3}{3,14 \cdot 1,625^2} = 11,76 \text{ м.}$$

Расстояние между опорами

$$l_0 = 0,586 l_p = 0,586 \frac{V}{\pi r^2} = 0,586 \cdot \frac{100}{3,14 \cdot 1,625^2} = 3,07 \text{ м.}$$

Задаемся толщиной стенки резервуара $\delta p = 4$ мм с ребрами жесткости из уголков через каждые 2 м и толщиной днища $\delta_{dn} = 5$ мм.

Кольцевое напряжение в стенке резервуара от избыточного давления

$$\sigma_1 = \frac{\gamma_p r \chi}{n \delta} = \frac{1,2 \cdot 0,7 \cdot 162,5}{0,4} = 34,1 \text{ МПа},$$

где γ_p - коэффициент перегрузки.

Определяем напряжение от изгиба, как в двухпорной балке.

Собственный вес резервуара с плоскими и пологими коническими днищами

$$G = \gamma_{cr} \cdot 2 \cdot \pi \cdot r (\ell \delta p + r \delta_{dn}) = 1,3 \cdot 9,85 \cdot 2 \cdot 3,14 \cdot 1,625 \cdot (11,76 \cdot 0,004 + 1,625 \cdot 0,005) = 57,3 \text{ Н,}$$

где $\psi = 1,3$ – строительный коэффициент, учитывающий вес ребер жесткости, диафрагм, люков и других конструктивных элементов;
 $\delta_{ст}$ – объемный вес стали.

Постоянная нагрузка на резервуар

$$q = \pi \left(\frac{G}{\rho} + \gamma P r^2 \right) = 1,1 \left(\frac{5,73}{11,76} + 0,9 \cdot 3,14 \cdot 1,625^2 \right) = 87,5 \text{ Н/м.}$$

Максимальный изгибающий момент

$$M = \frac{q l \rho}{4\pi} = \frac{q}{4\pi} \left(\frac{V}{\pi r^2} \right)^2 = \frac{87,5}{4\pi} \left(\frac{100}{3,14 \cdot 1,625^2} \right) = 27 \text{ Н/м.}$$

Напряжение от изгиба

$$\sigma_u = \frac{M}{\pi r^2 t} = \frac{27 \cdot 10^5}{3,14 \cdot 1,625^2 \cdot 10^4 \cdot 4} = 8,1 \text{ МПа.}$$

Принимаем конструктивно при внутреннем угле конуса 153°
высоту конуса 39 см; угол α между горизонталью и образующей $13^\circ 31'$;
 $\sin \alpha = 0,233$.

Кольцевое напряжение в днище

$$\sigma_c = \frac{\gamma_p r}{t \sin \alpha} = \frac{1,2 \cdot 0,1 \cdot 162,5}{0,5 \cdot 0,233} = 117,1 \text{ МПа.}$$

Проверим устойчивость стенки резервуара при вакууме.

Кольцевое сжимающее напряжение

$$\sigma_c = \frac{\gamma_p \cdot P B r}{t} = \frac{1,2 \cdot 0,1 \cdot 162,5}{0,4} = 49 \text{ МПа.}$$

Критическое напряжение

$$\sigma_{kp} = 0,55 \frac{E \delta}{\rho} \sqrt{\frac{\delta}{r}} = 0,55 \cdot 2,1 \cdot 10^6 \cdot \frac{0,4}{200} \sqrt{\frac{0,4}{162,5}} = 11,4 \text{ МПа.}$$

Отношение $\frac{\sigma_c}{\sigma_{kp}} = \frac{49}{11,4} = 0,43 < m = 0,8$. Таким образом,
устойчивость стенки обеспечена.

Пример 3. Определение толщины ставок труб участка газопровода
(коэффициент условий работы участка трубопровода
 $m = 0,9$) диаметром $D_H = 1420$ мм при рабочем давлении
 $P = 7,5$ МПа.

Для сооружения газопровода использованы термически упрочненные трубы из низколегированной стали. Согласно СНиП II-45-75, коэффициент безопасности для этих труб $K_f = 1,4$, временное сопротивление $\sigma_a = R_1^H = 600 \text{ МПа}$, нормативное значение предела текучести $\sigma_T = R_2^H = 470 \text{ МПа}$, модуль упругости $E = 2,1 \cdot 10^5 \text{ МПа}$. Здесь R_1^H – нормативное значение временного сопротивления металла труб; R_2^H – нормативное значение предела текучести металла труб, устанавливаемое стандартом и техническими условиями на трубы.

Определим расчетное сопротивление материала труб:

$$R_f = \frac{R_1^H \cdot m}{K_f \cdot K_H} = \frac{600 \cdot 0.9}{1,4 \cdot 1,1} = 350 \text{ МПа};$$

где K_H – коэффициент надежности, который учитывает внутреннее давление, диаметр трубопровода. Определяется по СНиП II-45-75 "Магистральные трубопроводы. Нормы проектирования".

Расчетную номинальную толщину стенки определяем по формуле

$$\delta = \frac{n \cdot p \cdot D_H}{2 \cdot (R_f + n \cdot p)} = \frac{1,1 \cdot 4,5 \cdot 142}{2(350 + 1,1 \cdot 4,5)} = 1,64 \text{ см},$$

где n – коэффициент перегрузки рабочего давления (табл. 3.12).

Проведем проверку кольцевых напряжений по формуле

$$\sigma_{kц}^H = \frac{p \cdot D_{BH}}{2\delta} = \frac{4,5(142 - 2 \cdot 1,64)}{2 \cdot 1,64} = 317 \text{ МПа};$$

где $\sigma_{kц}^H$ – кольцевые напряжения от нормативного рабочего давления.

Для ограничения максимальных (с учетом изгиба) напряжений и деформаций нормами проектирования установлено дополнительное условие, при котором деформации труб ограничиваются соответствующим нормативным пределом текучести. С учетом исходных данных

$$\sigma_{kц}^H = 317 \text{ МПа} \leq \frac{C \cdot R_2^H}{K_H} = \frac{1}{1,1} \cdot 470 = 427 \text{ МПа},$$

где C - коэффициент, отражающий категории участков трубопроводов, устанавливаемый СН и П II-45-75; K_H - коэффициент надежности. Кольцевые напряжения

$$\sigma_{KU} = \frac{n \cdot p \cdot D_{BH}}{2d} = \frac{1,1 \cdot 7,5 (142 - 2 \cdot 1,64)}{2 \cdot 1,64} = 349 \text{ МПа.}$$

Таблица 3.12
Классификация нагрузок и воздействий

Характер нагрузок и воздействий	Нагрузки и воздействия	Способ прокладки трубопровода	Коэффициент перегрузки n
		подземный и в насыпях	надземный
Постоянные	Собственный вес трубопровода и обустройства Воздействие предварительного напряжения трубопровода (упругий изгиб и др.)	+	+
		+	I, I(I)
Временные, длительные	Внутреннее давление для газопроводов Внутреннее давление для нефтепроводов диаметром 700...1420 мм: с промежуточными насосными станциями, работающими без подключения емкостей;	+	I, I
	без промежуточных насосных станций, а также для нефтепроводов диаметром менее 720 мм	+	I, I5
	Вес продукта или воды	+	I, I
	Температурное воздействие	+	I(0,95)

Примечание. Значения коэффициентов перегрузки, указанные в скобках, должны приниматься при расчете трубопроводов на продольную устойчивость, а также в тех случаях, когда уменьшение нагрузки ухудшает условия работы трубопровода.

Коэффициент, учитывающий напряжения состояния металла труб, рассчитываем по формуле

$$\Psi_2 = \sqrt{1 - 0,75 \left(\frac{\sigma_{\text{рас}}}{R_1} \right)^2} - 0,5 \frac{b_{\text{рас}}}{R_1} = \sqrt{1 - 0,75 \left(\frac{349}{350} \right)^2} - 0,5 \frac{349}{350} = 0,0096.$$

Для определения продольных осевых напряжений воспользуемся формулой, приведенной в СНиП II-45-75:

$$\sigma_{\text{пр}} = \Psi_2 \cdot R_1 = 0,0096 \cdot 350 = 3,5 \text{ МПа.}$$

Максимально допускаемый положительный температурный перепад

$$\Delta t = \frac{\Psi_2 R_1 + 0,25 \cdot \frac{\alpha \rho D_{\text{вн}}}{E}}{2} = \frac{3,5 + \frac{0,25 \cdot 1,1 \cdot 7,5 (142 - 2 \cdot 1,64)}{1,64}}{2 \cdot 10^{-6} \cdot 2,1 \cdot 10^5} = 70,6^{\circ}\text{C},$$

где α — коэффициент линейного расширения металла труб; E — модуль упругости.

Толщина стенки трубопровода при положительном температурном перепаде $\Delta t = 85^{\circ}\text{C}$. Данный температурный перепад превышает максимально допускаемый, поэтому толщину стенки трубопровода при наличии осевых скимающих напряжений следует определять по формуле

$$\delta = \frac{\alpha \rho D_{\text{вн}}}{2 (\Psi_2 R_1 + \alpha \rho)}.$$

Продольные осевые напряжения $\sigma_{\text{пр}}$ зависят от толщины стенки, поэтому решение выполняется методом последовательных приближений. Приимаемзначение толщины стенки равной 2 см.

Продольные осевые напряжения

$$\begin{aligned} \sigma_{\text{пр}} &= -\alpha \Delta t E + 0,25 \frac{\alpha \rho D_{\text{вн}}}{\delta} = -12 \cdot 10^{-6} \cdot 2,1 \cdot 10^5 \cdot 85 + \\ &+ \frac{0,25 \cdot 1,1 \cdot 7,5 (142 - 2 \cdot 2)}{2} = -72 \text{ МПа.} \end{aligned}$$

Коэффициент, учитывающий двухосное напряженное состояние,

$$\Psi_1 = \sqrt{1 - 0,75 \left(\frac{\sigma_{np}}{R_1} \right)^2} - 0,5 \frac{|\sigma_{np}|}{R_1} = \sqrt{1 - 0,75 \left(\frac{72}{350} \right)^2} - 0,5 \frac{72}{350} = 0,882.$$

Толщина стенки трубопровода

$$\delta = \frac{n \cdot p \cdot D_h}{2(\Psi R_1 + np)} = \frac{1,1 \cdot 7,5 \cdot 142}{2(0,882 \cdot 350 + 1,1 \cdot 7,5)} = 1,84 \text{ см.}$$

Принимаем новое значение толщины стенки ($\delta' = 1,84$) и повторяем расчет:

$$\sigma_{np} = -12 \cdot 10^{-6} \cdot 2,1 \cdot 10^5 \cdot 85 + \frac{0,25 \cdot 1,1 \cdot 7,5 (142 - 2 \cdot 1,84)}{1,84} = -59 \text{ МПа};$$

$$\Psi_1 = \sqrt{1 - 0,75 \left(\frac{59}{350} \right)^2} - 0,5 \frac{59}{350} = 0,905;$$

$$\delta' = \frac{1,1 \cdot 7,5 \cdot 142}{2(0,905 \cdot 350 + 1,1 \cdot 7,5)} = 1,80 \text{ см.}$$

Принимаем новое значение толщины стенки ($\delta' = 1,78$) и выполним расчет:

$$\sigma_{np} = -12 \cdot 10^{-6} \cdot 2,1 \cdot 10^5 \cdot 85 + \frac{0,25 \cdot 1,1 \cdot 7,5 (142 - 2 \cdot 1,78)}{1,78} = -58 \text{ МПа};$$

$$\Psi_1 = \sqrt{1 - 0,75 \left(\frac{58}{350} \right)^2} - 0,5 \frac{58}{350} = 0,914;$$

$$\delta' = \frac{1,1 \cdot 7,5 \cdot 142}{2(0,914 \cdot 350 + 1,1 \cdot 7,5)} = 1,78 \text{ см.}$$

Таким образом, расчетная толщина стенки $\delta' = 1,78$ см.

Примечание. Установлены три значения m : 0,9; 0,75 и 0,6. Для обычной линейной части трубопровода $m = 0,9$. Для переходов магистральных трубопроводов через преграды, железнодорожные и автомобильные дороги, болота, для участков, примыкающих к комп-

рессорным и нефтеперекачивающим станциям, $m = 0,75$. Для наиболее ответственных участков (трубопроводы, проложенные внутри зданий, в пределах территорий станций), для переходов мощных нефтепроводов ($\phi 1020$ мм и более) через водные преграды $m = 0,6$.

Коэффициент безопасности установлен нормами на проектирование. Термически упрочненные трубы из низколегированной стали, имеющие допуск по толщине стенки не более 5% с обеспечением 100% контроля листа, и сварные соединения рассчитываются с учетом коэффициента безопасности $K_f = 1,34$. Спиральношовные трубы, изготовленные из горячекатаной низколегированной стали, сваренные в три слоя, и прямоточные экспандированные трубы из нормализованной листовой стали, сваренные двухсторонним швом, рассчитывают с учетом коэффициента безопасности $K_f = 1,47$.

Приложение I

УСЛОВНЫЕ ОБОЗНАЧЕНИЯ СВАРНОГО ШВА

Условное буквенно-цифровое обозначение стандартного шва на чертежах устанавливает ГОСТ 2.312-72: С1, С2, С3, ... - стыковые сварные соединения; У1, У2, У3, ... - угловые; Н1, Н2, Н3, ... - нахлесточные; Т1, Т2, Т3, ... - тавровые сварные соединения.

Структура условного обозначения шва или одиночной сварной точки показана на рис. П.1 а, б и в табл. П.1. Например, обозначение стандартного сварного шва ГОСТ 14806-80 Т5-Р_д3 - Δ6 - 50×100 расшифровывается так: шов таврового соединения, без скоса кромок, прерывистый, с шахматным расположением элементов шва, выполненный ручной дуговой сваркой в защитном газе неплавящимся электродом; катет шва 6 мм, длина каждого проваренного участка 50 мм, шаг 100мм.

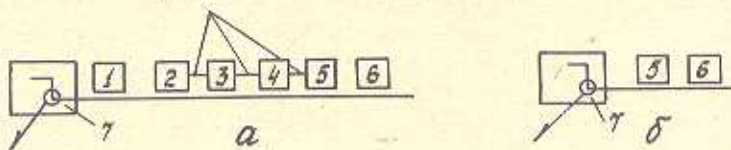


Рис.П.1.Структура условного обозначения сварного шва:
а - стандартного; б - нестандартного

Таблица П.1

Номер позиции (рис.П.1)	П о я с н е н и е
1.	Обозначение стандарта на типы и конструктивные элементы швов сварных соединений.
2.	Буквенно-цифровое обозначение шва по стандарту на типы и конструктивные элементы.
3.	Условное обозначение способа сварки.
4.	Знак Δ и размер катета по ГОСТ 2.312-72.
5.	Вспомогательный знак, обозначающий сварной шов и шаг:
	а) для прерывистого шва - длина;
	б) для цепного шва - размер катета по ГОСТу;
	в) для одиночной сварной точки - расчетный диаметр точки;

Продолжение табл. П.1.

Номер позиции (рис.П.1)	Пояснение
	г) для роликовой сварки-размер катета и шаг (вторая цифра), для контактной точечной сварки- шаг (вторая цифра).
6.	Обозначение вспомогательных знаков.
7.	Обозначение вспомогательных знаков.

ДОПУСКАЕМЫЕ НАПРЯЖЕНИЯ

Допускаемые напряжения для конструкционных материалов (стали) в рабочих условиях принимаются по СТ СЭВ 596-77:

для углеродистой стали при рабочей (расчетной) температуре $t_p \leq 380^{\circ}\text{C}$ и низколегированной стали при $t_p \leq 420^{\circ}\text{C}$ – равными меньшему из значений равенств:

$$[\sigma] = \gamma \sigma_t / n_T ; \quad (\text{П.1})$$

$$[\sigma] = \gamma \sigma_B / n_B ; \quad (\text{П.2})$$

для высоколегированной (аустенитной) стали при рабочей (расчетной) температуре $t_p \leq 525^{\circ}\text{C}$ – равными меньшему значению из равенств (П.1) и (П.2) и равенству

$$[\sigma] = \gamma \sigma_{0.2} / n_T . \quad (\text{П.3})$$

При больших значениях расчетных температур допускаемые напряжения для любой стали принимаются равными наименьшему значению из равенства (П.1) или равенства:

$$[\sigma] = 2 \sigma_g \cdot 10^5 / n_g ; \quad (\text{П.4})$$

$$[\sigma] = 2 \sigma_{1\%} \cdot 10^5 / n_{1\%} . \quad (\text{П.5})$$

При отсутствии данных по значению σ_B при расчетной температуре для сталей, у которых отношение $\sigma_t / \sigma_B \leq 0,75$, допускается в равенстве (П.2) принимать значение σ_B для температуры 20°C .

Значения допускаемых напряжений (ГОСТ 14249-80) для сталей наиболее употребляемых марок в зависимости от расчетной температуры приведены в табл. П.2.

К допускаемым напряжениям для деталей из стальных отливок вводится поправочный коэффициент γ ; при индивидуальном контроле разрушающими методами $\gamma = 0,8$; в остальных случаях

$$\gamma = 0,7 \dots 1,0 .$$

Коэффициенты запаса прочности в формулах (П.1)...(П.5) принимаются по ГОСТ 14249-80 и СТ СЭВ 596-77 (табл. П.3).

Таблица II.2

Допускаемые напряжения для углеродистых и легированных сталей

t_p , °C	ВС _T 3	Допускаемое напряжение σ' , МПа, для сталей марок					
		20 20K	09Г2С 10Г2С1 16ГС	12ХМ	15ХМ	08Х22Н6Т 08Х18Н10Т	12Х18Н10Т
20	140	147	183	147	155	240	140
100	134	142	160	-	-	207	130
150	131	139	154	-	-	200	120
200	126	136	148	145	152	193	115
250	120	132	145	145	152	173	110
300	108	119	134	141	147	167	100
350	98	106	123	137	142	-	91
375	93	98	116	135	140	-	89
400	85	92	105	132	137	-	86
410	81	86	104	130	136	-	86
420	75	80	92	129	135	-	85
430	<u>71</u>	75	86	127	134	-	85
440		67	78	126	132	-	84
450		61	71	124	131	-	84
460		55	64	122	127	-	83
470		49	56	117	122	-	83
480		46	53	114	117	-	82
490				105	107	-	82
500				96	99	-	81
510				82	84	-	80
520				69	74	-	79
530				60	67	-	79
540				50	57	-	78
550				41	49	-	76
560				33	41	-	73
570						-	69
580						-	65
590						-	61
600						-	57
							74

Примечания. 1. Для расчетных температур ниже 20°C допускаемые напряжения принимаются такими же, как и для температуры 20°C.

при условии возможности применения материала при этой температуре.

2. Для промежуточных значений расчетных температур допускаемые напряжения определяются линейной интерполяцией с округлением результатов до 0,5 МПа в сторону меньшего значения.

Таблица П.3

Значения коэффициентов запаса прочности

Условия нагружения	Коэффициент запаса прочности			
	n_T	n_B	n_d	n_P
Рабочие	1,5	2,4	1,5	1,0
Испытания и монтаж	1,1	-	-	-

Таблица П.4

Коэффициенты прочности сварных швов (ГОСТ 14249-80)

Вид сварного шва	Коэффициент прочности сварных швов	
	длина швов - 100% общей длины	длина швов - от 10 до 50% общей длины
Стиковой или тавровый с двухсторонним сплошным проваром, выполняемый автоматической и механизированной сваркой	1,0	0,9
Стиковой с подваркой корня шва или тавровый с двухсторонним сплошным проваром, выполняемый вручную	1,0	0,9
Стиковой, доступный сварки только с одной стороны и имеющий в процессе сварки металлическую подкладку со стороны корня шва, прилегающую до всей длине шва к основному металлу	0,9	0,8
Стиковой, выполняемый автоматической и механизированной сваркой с одной стороны, с флюсовой или керамической подкладкой	0,9	0,8
Стиковой, выполняемый вручную с одной стороны	0,9	0,65
Тавровое соединение с конструктивным зазором свариваемых деталей	0,8	0,65

Примечание. Объем контроля определяется техническими требованиями на изготовление и правилами Госгортехнадзора СССР.

Приложение З

РАСЧЕТ ТОЛЩИНЫ СТЕНОК И ДНИЩ ОБЕЧАКИ

При расчете на прочность и устойчивость сварных элементов в расчетные формулы вводятся коэффициенты прочности сварных швов (табл. П.4).

Исполнительные или принимаемые при конструировании размеры рассчитываемых элементов S , как правило, должны быть больше расчетных S_p на значение прибавки C : $S \geq S_p + C$.

$$\text{Общее значение прибавки } C = C_1 + C_2.$$

Прибавка на коррозию C_1 и эрозию C_2 при проницаемости $\pi \leq 0,05 \text{ мм/год}$ принимается равной 1 мм. При большей проницаемости а также при двухсторонней коррозии C_1 соответственно увеличивается. При отсутствии данных о проницаемости для материалов, стойких в заданной среде, рекомендуется C_1 принимать равным 2 мм.

Прибавка на минусовые значения предельного отклонения по толщине листа, из которого изготавливается элемент, принимается по соответствующему стандарту на сортамент.

Расчет цилиндрических обечайек производится по ГОСТ 14249-80.
Для расчета гладких цилиндрических обечайек (рис. П.2) формулы расчета применямы при условии

$(S - C)D^{-1} \leq 0,1$ - для обечайек и труб $D \geq 200 \text{ мм}$
или $(S - C)D^{-1} \leq 0,3$ - для труб $D < 200 \text{ мм}$.

Толщину стенки обечайки, нагруженной внутренним избыточным давлением, определяют по формулам

$$S_p = \frac{P_p D}{2[6] \varphi_p - P_p}; \quad S \geq S_p + C.$$

Формулы для расчета сферических крышек и днищ, нагруженных внутренним избыточным давлением, применимы при условиях

$$(S - C)/R \leq 0,1; \quad 0,95 D \leq R \leq D.$$

Толщина сферической крышки (рис. П.3)

$$S_p = 0,56 P_p R / (4[6]), \quad \text{с учетом прибавки } S = S_p + C.$$

Толщина сферического днища

$$S_p = 0,72 P_p R / (4[6]), \quad \text{с учетом прибавки } S = S_p + C.$$

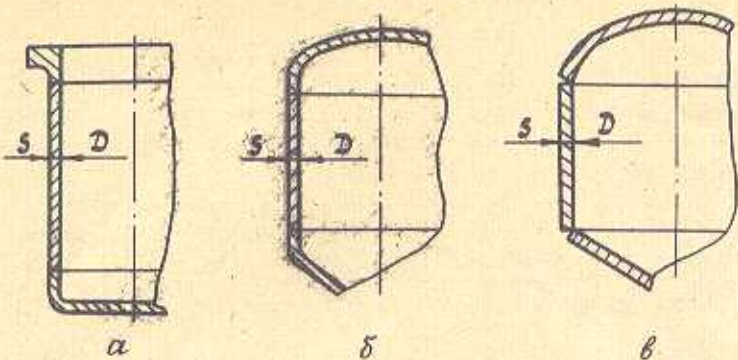


Рис.П.2. Конструкции гладких цилиндрических обечайок (корпусов) аппаратов: а - с фланцем и плоским днищем; б - с отбортированными эллиптическими и кольцевыми днищами; в - с неотбортированными сферическими и коническими днищами

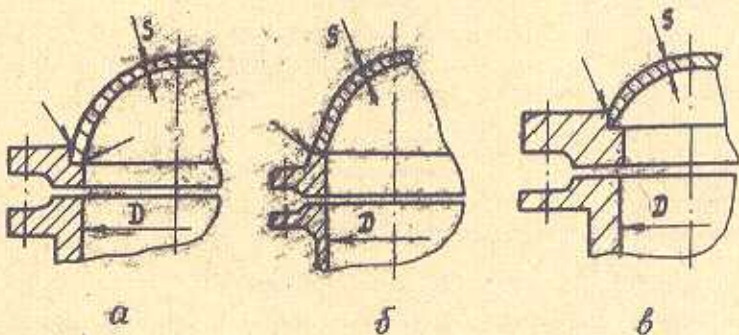


Рис.П.3. Типовые конструкции объемных выступов в стальных сварных аппаратах: а - эллиптическая с плоским фланцем; б - эллиптическая с фланцем, приваренным носцем; в - сферическая с цилиндрическим днищем, соединением с фланцем

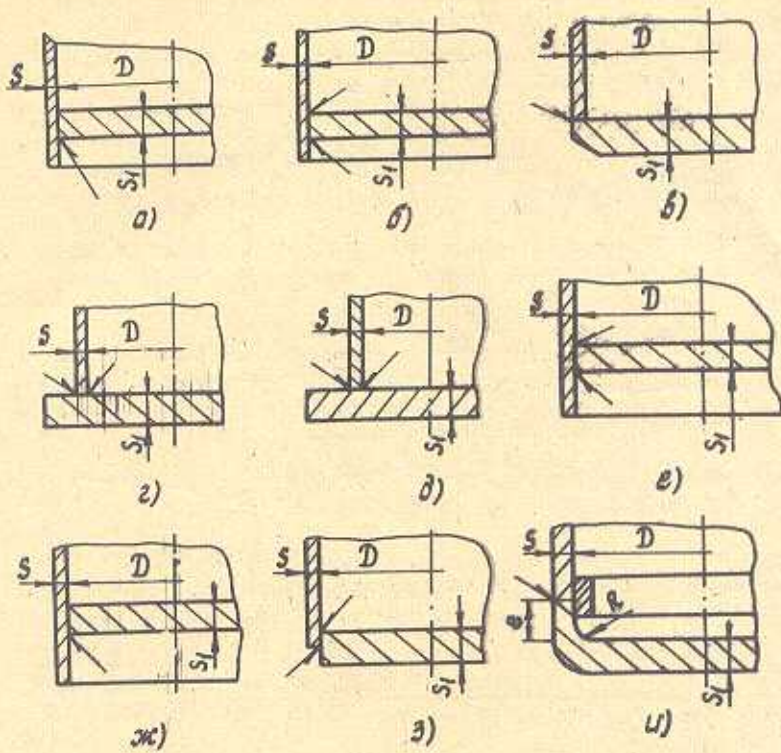


Рис. II.4. Конструкции плоских днищ и схемы соединения их с цилиндрическими обечайками: а - с односторонним угловым швом без скоса кромки; б, г, з - с двусторонним угловым швом без скоса кромки; в - с односторонним угловым швом и скосом двух кромок; д - с двусторонним угловым швом и двусторонним скосом кромки обечайки; е - с двусторонним скосом кромки днища; ж - с односторонним тавровым швом и криволинейным скосом кромки днища; и - с односторонним стыковым швом и подкладкой.

Формулы для расчета плоских круглых приварных днищ и крышек применимы при условии $(S_t - C) / D_p \leq 0,1$ (рис.П.4).

При $(S_t - C) / D_p > 0,1$ значение допускаемого давления p_p следует умножить на поправочный коэффициент:

$$K_p = \min \{1,0; 2,2 [1 + \sqrt{1 + (6(S_t - C)/D_p)^2}]^{-1}\}.$$

Толщину днища или крышки рассчитывают по формулам:

$$S_{tp} = K K_0 D_p \sqrt{\frac{p_p}{[6]_4}} ; \quad S_t \geq S_{tp} + c ,$$

где коэффициент K и расчетный диаметр D_p принимают (табл.П.5) в зависимости от конструкции днища и крышки; K_0 - коэффициент ослабления днища или крышки отверстиями:

при наличии одного отверстия

$$K_0 = \sqrt{1 + d/D_p + (d/D_p)^2} ;$$

при наличии нескольких отверстий

$$K_0 = \sqrt{1 + \sum \left(\frac{d_i}{D_p} \right)^3} / \left[1 - \sum \frac{d_i}{D_p} \right].$$

Здесь d_i - диаметр i -го отверстия.

Т а б л и ц а П.5

Значения коэффициента в зависимости от конструкции сварного соединения плоских круглых днищ с обечайкой

Вид соединения	$(S - C) / (S_t - C)$	Коэффициент K
Тавровое (рис.П.4,а)		0,53
" (рис.П.4,б)		0,50
Угловое (рис.П.4,в)		0,45
Тавровое (рис.П.4,г)		0,50
" (рис.П.4,д)		0,41
-----	-----	-----
Тавровое (рис.П.4,е)	0,5	0,41
" (рис.П.4,ж)	0,5	0,38
Угловое (рис.П.4,з)	0,5	0,45
Стыковое (рис.П.4,и)	0,5	0,41
		0,38

Приложение 4

ВИДЫ И МАРКИ СТАЛЕЙ ДЛЯ МОКРЫХ ГАЗГОЛЬДЕРОВ

Газгольдеры низкого давления рассчитаны на 1,5...4,0 МПа, газгольдеры высокого давления - до 3 МПа и выше. Избыточное давление в шаровых резервуарах составляет более 1,8 МПа.

Виды и марки сталей для изготовления мокрых газгольдеров выбирают с учетом их эмиссий, условий эксплуатации, конструктивных особенностей и климатических условий районов их сооружения.

Для листовой оболочки газгольдеров объемом 100,300,600 м³, сооружаемых при температуре - 30°C и выше, применяется кипящая сталь ВСт.Зип2.

Для изготовления газгольдера объемом 3000 м³ рекомендуется применять высокопрочную строительную сталь класса прочности С 60/45 (табл.П.6), для изготовления нижних поясов - сталь 16Г2ЛФ, для изготовления днища и верхних поясов - углеродистую сталь обыкновенного качества класса прочности С 38/23 марки ВСтЗспб.

Таблица П.6

Классы прочности стали и соответствующие им марки

Категория прочности	Класс стали	Механические свойства при растяжении, не менее			Марка стали	Толщина проката, мм	Ударная вязкость, кгс м/ом ² , при температуре, °C			после механического старения
		σ_s , кгс/см ²	σ_b , кгс/см ²	δ , %			-20	-40	-70	
Обычная	C 38/23	3800	2300	25	БСтЗпс БСтЭсп БСтЗГпс ВИ8Гпс5 М16С	5-40 5-40 10-30 10-30 26-40	-	-	-	3 3,5
Повышен- ная	C 44/29	4400	2900	21	СтТпс 09Г2С	10-25 21-60 4-20	-	3	-	3 3
	C 46/33	4600	3300	21	09Г2С 14Г2 10Г2С1 15ХСНЛ	4-20 4-32 4-40 5-32	-	3	-	3 3
	C 52/40	5200	4000	19	10Г2С1 10ХСНЛ 14Г2АФ 18Г2АФпс 15Г2СФ	10-40 4-40 4-32 4-32 4-20	-	5	-	3 3
Высокая	C 60/45	6000	4500	16	15ХСНЛ 16Г2АФ 18Г2АФпс 15Г2СФ	10-32 4-32 8-50 8-32	-	4	-	3 3
	C 70/60	7000	6000	12	12Г2СМп 14ГСМФР	10-32 4-40	-	3,5 3	-	-
	C 85/75	8500	7500	10	15ХГ2СМФР	12-30	-	3	-	-

Примечание. Стали классов С 52/40-С 85/75 поставляются в термически упрочненном состоянии.

ЛИТЕРАТУРА

1. Лашинский А.А. Конструирование сварных химических аппаратов: Справочник/Под ред. А.Р. Толчинского.-Л.: Машиностроение, 1981.
2. Лессиг Б.И., Билеев А.Ф., Соколов А.Г. Листовые металлические конструкции.-М.: Стройиздат, 1970.
3. Майзель В.С., Навроцкий Д.И. Сварные конструкции.-Л.: Машиностроение, 1973.
4. Мельников Н.П. Металлические конструкции.-М.: Стройиздат, 1963.
5. Михайлов А.М. Сварные конструкции: Учеб.пособие.-М.: Стройиздат, 1963.
6. Николаев Г.А., Куркин С.А., Бинокуров В.А. Сварные конструкции. Прочность сварных соединений и деформации конструкций: Учеб.пособие.-М.: Высшая школа, 1982.
7. Сахновский М.М. Технологичность строительных сварных стальных конструкций.-Киев : Будивельник, 1980.
8. Серенко А.Н., Крумбольдт М.Н., Багрицкий К.В. Расчет сварных соединений и конструкций. Примеры и задачи.-Киев: Выща школа, 1977.
9. Металлические конструкции. Стрелецкий Н.С., Бедена В.И. и др.: Учебник для вузов.-М.: Стройиздат, 1965.

ОГЛАВЛЕНИЕ

1.	Требования к выполнению курсового проекта	3
1.1.	Объем курсового проекта	3
1.2.	Требования к графической части	3
1.3.	Требования к расчетно-пояснительной записке	3
1.4.	Порядок выполнения проекта	5
2.	Конструктивное оформление сварных конструкций, узлов и соединений	5
2.1.	Сварные соединения	5
2.2.	Требования к проектированию и конструированию составных сварных балок	9
2.3.	Конструктивные требования к оформлению сварных колонн	13
2.4.	Конструктивные требования к проектированию листовых конструкций	14
3.	Примеры расчета сварных конструкций	19
3.1.	Составные балки	19
3.2.	Сварные колонны	39
3.3.	Листовые конструкции	58
Приложение 1.	68
Приложение 2.	70
Приложение 3.	73
Приложение 4.	77
Литература.	79

Св. пл. 1987 г., поз. 1481

Рудольф Сергеевич Лучкин

Расчет и проектирование сварных конструкций

Учебное пособие

Редактор Л. Д. Куликова

Корректор Н. А. Фомичева

Подписано к печати 21.07.87. ЕО 06157.

Формат 60×84¹/₁₆. Бумага обертка белая. Печать оперативная.

Усл. п. л. 4,6. Уч.-изд л. 4,5. Тираж 500 экз.

Заказ № 5895. Ц. 15 коп.

Тольяттинский политехнический институт. Тольятти, Белорусская, 14.
Куйбышевское полиграфическое объединение, Куйбышев, Венцека, 60.